



# Rivelatori

**Caratteristiche generale e concetti preliminari**

Stage Residenziale 2012

# Indice

- **Caratteristiche generali**

sensibilità, risposta, spettro d' ampiezza, risoluzione energetica,  
efficienza, tempo morto

- **Rivelatori a Scintillazione**

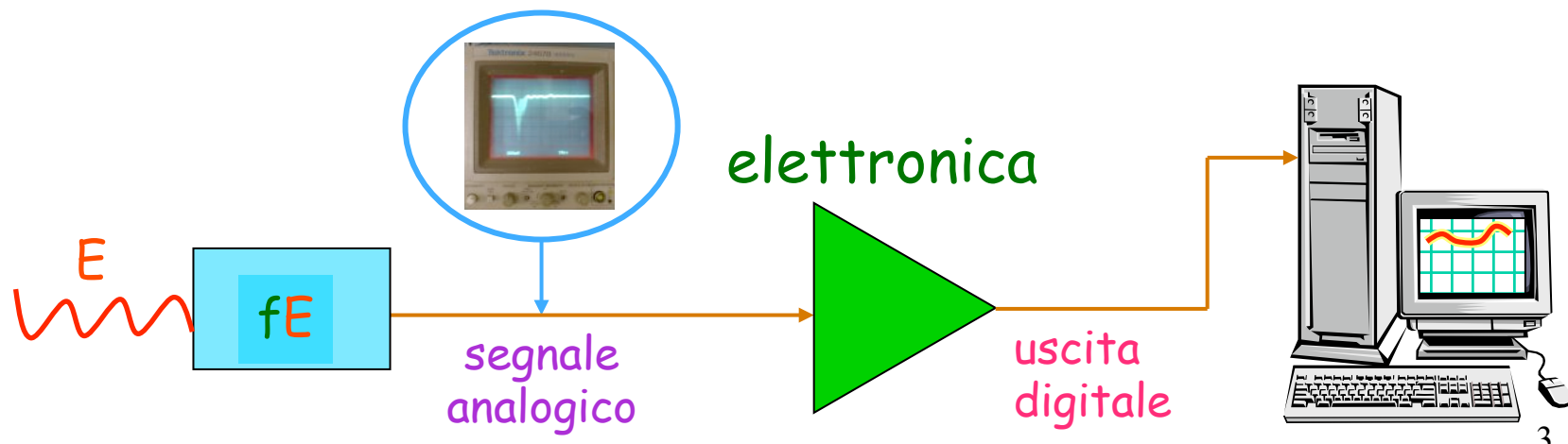
proprietà chimico-fisiche degli scintillatori  
guide di luce & fotomoltiplicatori

# Logica

Principio di funzionamento generale di un rivelatore

particella di **energia E** → trasferimento di energia  $f E$  ( $f \leq 1$ )  
al rivelatore → conversione in **form**e d' energia accessibile

Rivelatori moderni sono essenzialmente elettrici:  $f E$  convertita in  
impulsi elettrici → necessaria **elettronica** per il trattamento dell' info



# Caratteristiche Generali

## A. Sensibilità

capacità di produrre segnale utilizzabile  $S$  per un dato tipo di radiazione di una data energia

(non esiste rivelatore sensibile a tutte le radiazioni di qualunque energia)

Dipende da:

- $\sigma$  delle reazioni ionizzanti, i.e. probabilità di conversione di  $f E$  in forma di ionizzazione
- massa del rivelatore: fissata  $\sigma$ ,  $\rho$  e  $V$  determinano frequenza delle interazioni → massa richiesta dipende dal tipo e dall' energia della radiazione da rivelare

# Caratteristiche Generali

- rumore del rivelatore  $N_R$ : minima ionizzazione in grado di produrre segnale utilizzabile  $S$  è determinata dal rumore del sistema rivelatore  $\oplus$  elettronica  $\rightarrow$  deve essere  $S \gg N_R$
- entrance window: comporta esistenza di una energia minima rivelabile

## B. Risposta

interazione di una particella nel rivelatore  $\rightarrow$  rilascio (quasi istantaneo) di carica elettrica  $Q$  nel volume sensibile del rivelatore  $\rightarrow$  raccolta tramite campo elettrico



$t_c$  = tempo di risposta

1 ps  $\div$  1ns in funzione  
del tipo di rivelatore

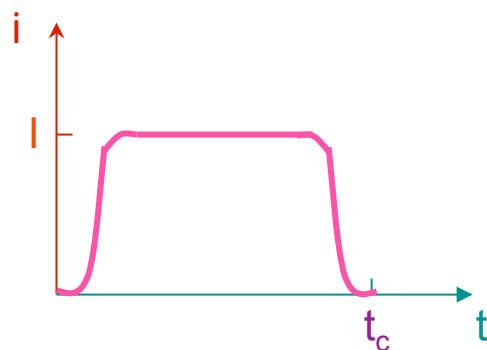
# Caratteristiche Generali

$t_c$  riflette:

- ✓ diversa **mobilità** dei portatori di carica
- ✓ diverso **cammino** percorso per arrivare all' elettrodo di raccolta



risposta del rivelatore: **impulso di corrente**



$$Q = \int_0^{t_c} dt \ i(t)$$

# Caratteristiche Generali

Caratteristiche del segnale d' uscita:

- ❖ tempo di salita =  $t_c$  (rivelatore)
- ❖ tempo di salita =  $\tau$  (circuito)
- ❖  $C = \text{costante} \rightarrow V_{\max} \propto Q \propto \text{energia rilasciata}$

N.B. – regime impulsivo è più conveniente:

- a) sensibilità più elevata (registro ogni singolo impulso)
- b) ampiezza impulso contiene info più importanti ai fini delle applicazioni (quando  $\tau \gg t_c$ )

nel regime corrente  
queste info sono perdute



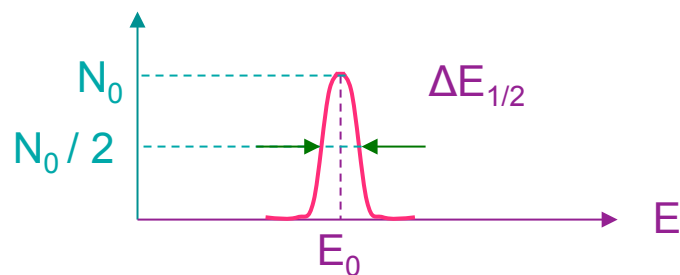
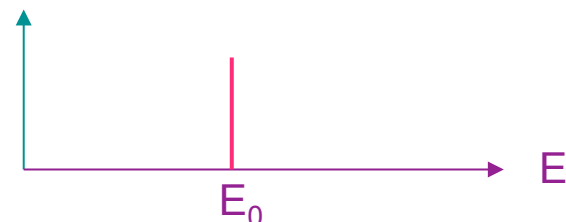
modo d' operazione più comune: impulso  $\oplus \tau \gg t_c$

# Caratteristiche Generali

C. Risoluzione Energetica capacità del rivelatore di discriminare energie vicine

Misura: fascio monocromatico ( $E_0$ ) di particelle che incide sul rivelatore → osservazione dello spettro d'ampiezza risultante:

- Caso ideale:  $\delta$  di Dirac
- Caso reale: fluttuazioni nel n. di ionizzazioni → gaussiana



$$R = \frac{\Delta E_{1/2}}{E_0} \quad (\text{FWHM})$$

# Caratteristiche Generali

$\varepsilon$  = energia media richiesta per una ionizzazione: funzione solo del tipo di materiale di cui è realizzato il rivelatore → particella che deposita energia  $E$  compie, in media,  $J = E / \varepsilon$  ionizzazioni !!

Natura poissoniana del processo di ionizzazione → fluttuazione nel n. di ionizzazioni =  $J^{1/2}$



$$R \propto J^{1/2} / J = J^{-1/2}$$



$$R \propto E^{-1/2}$$

risoluzione energetica migliora al crescere dell' energia della radiazione da rivelare

# Caratteristiche Generali

Ulteriori sorgenti di fluttuazione:

- rumore associato all' elettronica
- deriva delle caratteristiche del sistema

Ipotesi : fluttuazioni indipendenti

$$\longrightarrow (\Delta E_{1/2}^{\text{tot.}})^2 = (\Delta E_{1/2}^{\text{stat.}})^2 + (\Delta E_{1/2}^{\text{elet.}})^2 + (\Delta E_{1/2}^{\text{der.}})^2 + \dots$$

Esempio: fotoni da 1 MeV

$$\left. \begin{array}{l} \text{NaI} : R \sim 8 \% \\ \text{GeLi} : R \sim 0.1 \% \end{array} \right\}$$

# Caratteristiche Generali

## D. Efficienza

2 tipi d' efficienza:

i. assoluta

$$\epsilon_T = \frac{N_R}{N_s}$$

n. impulsi rivelati

n. particelle emesse  
dalla sorgente

funzione di:

- geometria del rivelatore
- probabilità d' interazione nel rivelatore

# Caratteristiche Generali

ii. intrinseca       $\epsilon_i = \frac{N_R}{N_i}$

n. particelle incidenti  
sul rivelatore



funzione solo probabilità d' interazione nel rivelatore, i.e.  
dipende da:

- tipo & energia della radiazione
- materiale di cui è composto il rivelatore

N.B. –  $\epsilon_T \rightarrow \epsilon_i$  elimina dipendenza geometrica: permane debole  
dipendenza dalla distanza sorgente - rivelatore

emissione isotropa       $\longrightarrow$        $\epsilon_T = \epsilon_i \Delta\Omega / 4\pi$

# Concetti preliminari

## 1. Grandezze fondamentali

**Energia E [ eV ] –** energia acquisita da un elettrone sottoposto alla d.d.p. di 1 Volt

$$1 \text{ eV} = 1.602 \times 10^{-19} \text{ J}$$
 Multipli: keV, MeV, GeV, TeV, ...

**Massa a riposo m [ eV/c<sup>2</sup> ] –** misurata tramite  $E = mc^2$

$$1 \text{ eV/c}^2 = 1.78 \times 10^{-36} \text{ kg}$$

**Impulso p [ eV/c ] –** misurata tramite  $E^2 = p^2 c^2 + m^2 c^4$

$$1 \text{ eV/c} = 0.535 \times 10^{-27} \text{ kg} \cdot \text{m/s}$$

# Concetti preliminari

## 2. Sorgenti radioattive

2 parametri fondamentali:

- ❖ Attività – n. di decadimenti al secondo → Becquerel (Bq)

$$1 \text{ Bq} = 1 \text{ dec./s}$$

**N.B.** – vecchia unità: Curie (Ci) →  $1 \text{ Ci} = 3.7 \times 10^{10} \text{ dec./s}$

- ❖ Costante di decadimento – velocità di decadimento

$$\frac{dN}{dt} = -\lambda N \quad [\lambda] = t^{-1}$$

# Concetti preliminari

Grandezze derivate da  $\lambda$  :

- vita media  $\tau$  - intervallo di tempo dopo il quale il n. iniziale di nuclei si è ridotto di un fattore  $e$

$$\tau = \lambda^{-1}$$

- tempo di dimezzamento  $t_{1/2}$  - intervallo di tempo dopo il quale metà dei nuclei iniziali è decaduta

$$t_{1/2} = \tau \ln 2 \cong 0.693 \tau$$

Fasci di particelle → Flusso  $\Phi$  - n. particelle al secondo

$$[ \Phi ] = t^{-1}$$

# Concetti preliminari

## 3. Sezione d' urto

misura della probabilità che si verifichi un certo processo d' interazione

Fascio di particelle che incide su un bersaglio :

Ipotesi – fascio molto + esteso del bersaglio;

- particelle distribuite in modo uniforme nello spazio e nel tempo

$$\sigma = \frac{\Phi \text{ diffuso}}{\Phi \text{ incidente} / \text{Superficie unitaria} \text{ trasversa}}$$

i.e.  $\perp$  alla direzione del fascio

# Concetti preliminari

- ✓ natura **casuale** del processo → valori medi su un numero elevato di intervalli di tempo di durata finita;
- ✓  $[\sigma] = L^2$  → posso immaginarla come l' area del centro di diffusione proiettata sul piano  $\perp$  alla direzione del fascio;
- ✓ ordini di grandezza:
  - $\sigma_{\text{atomica}} \approx 10^{-24} \text{ cm}^2 (= 1 \text{ barn})$
  - nucleo di raggio  $r \rightarrow \sigma_{\text{geom.}} = \pi r^2$   
 $r \approx 10^{-13} \text{ cm} (= 1 \text{ fm}) \rightarrow \sigma_{\text{geom.}} \approx 3 \times 10^{-26} \text{ cm}^2 = 30 \text{ mb}$

# Concetti preliminari

Bersaglio reale: dimensioni finite → molti centri diffusori

Ipotesi – centri diffusori distribuiti uniformemente;

- bersaglio sottile (spessore =  $dx$ ) → piccola probabilità che un centro diffusore sia esattamente dietro un altro



$N = n.$  centri/Volume → n. centri su superficie  $S \perp$  alla direzione di propagazione del fascio =  $N S dx$



Probabilità di 1 collisione nello spessore  $dx$  :

$$dp = \frac{\Phi \text{ diffuso}}{\Phi \text{ incidente}} = \frac{\sigma \Phi_0 / S}{\Phi_0} N S dx = \underbrace{N \sigma}_{w} dx$$

# Concetti preliminari

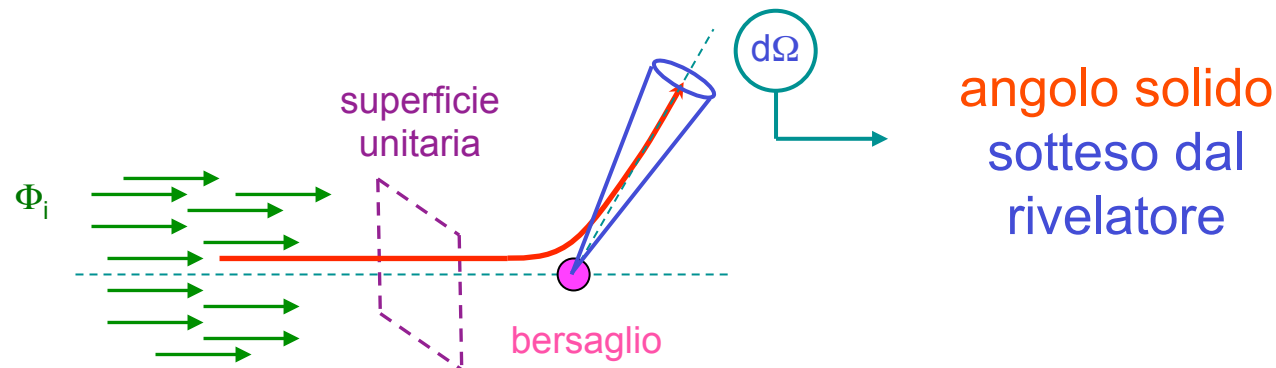
N.B. – densità centri diffusori  $N$  {

nucleo	→	$\rho N_0 / A$
elettroni	→	$\rho N_0 Z / A$

- $\rho$  = densità materiale;
- $N_0$  = n. di Avogadro ( $6.02 \times 10^{23}$ );
- $A$  = n. di massa (n. protoni + n. neutroni);
- $Z$  = n. atomico (n. elettroni)

# Concetti preliminari

Rivelazione particelle diffuse → apparato di dimensioni finite



sezione d' urto differenziale



$$\frac{d\sigma}{d\Omega} = \frac{\Phi \text{ diffuso in } d\Omega}{\Phi_i / \text{Superficie unitaria trasversa}}$$

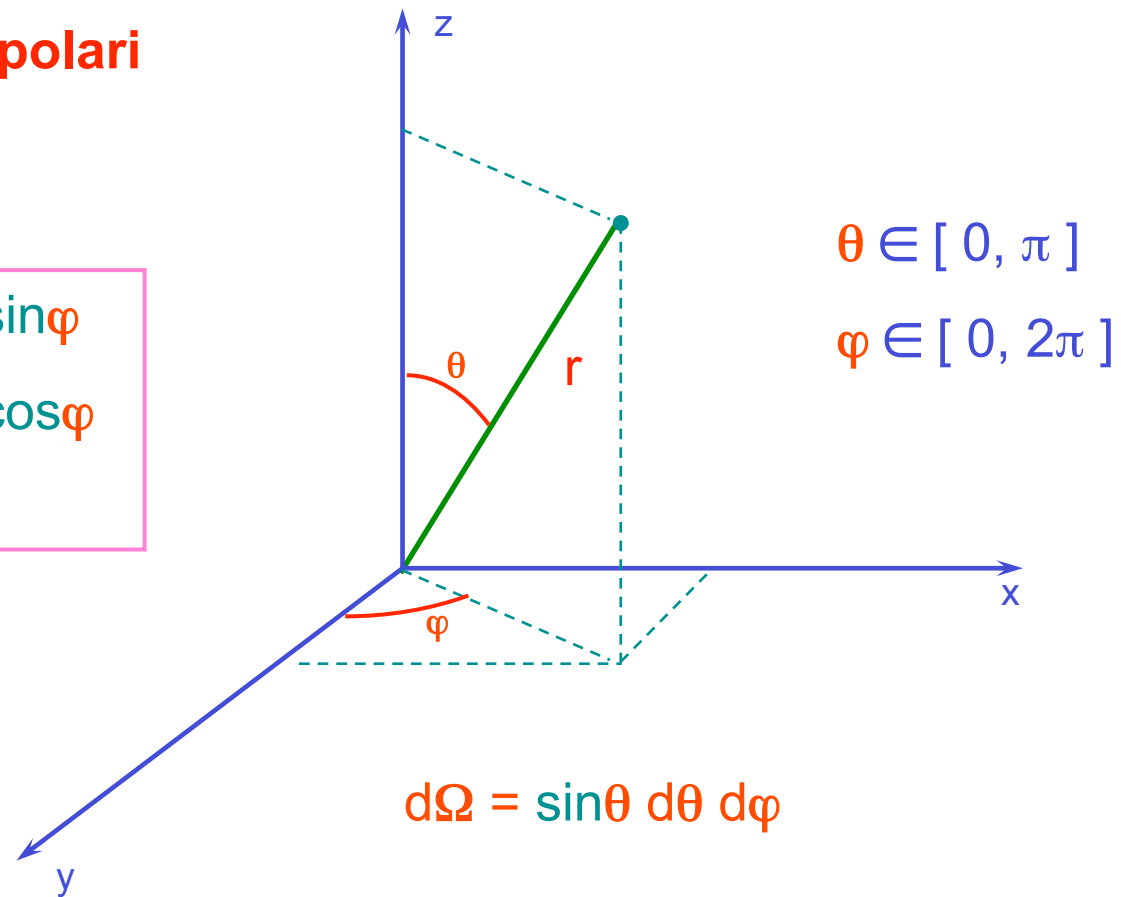
# Concetti preliminari

## Coordinate polari

$$x = r \sin\theta \sin\varphi$$

$$y = r \sin\theta \cos\varphi$$

$$z = r \cos\theta$$





# Scintillatori

Stage Residenziale 2012

# Rivelatori a Scintillazione

Passaggio di radiazione attraverso materiale scintillante → eccitazione di atomi e molecole del materiale → emissione di luce → raccolta e trasmessa (direttamente o via una guida di luce) ad un fotomoltiplicatore (PMT) → convertita in una corrente elettrica → analizzata da un sistema elettronico

Caratteristiche salienti di questi rivelatori:

## a) Sensibilità all' Energia

al disopra di una certa energia minima, comportamento lineare dello scintillatore rispetto all' energia depositata, i.e. quantità di luce emessa  $\propto$  all' energia  $E$  che l' ha prodotta. PMT lineare → ampiezza del segnale elettrico di uscita  $\propto E$  → strumento adatto per fare spettrometria

# Rivelatori a Scintillazione

## b) Risposta veloce

tempi di risposta e recupero sono brevi rispetto a quelli tipici di altri rivelatori → strumento adatto per ottenere info temporali (**timing**); alta velocità di risposta → piccolo tempo morto → sopporta alta rate

## c) Discriminazione di forma

in certi scintillatori particelle di diversa natura producono impulsi di luce di forma diversa: eccitazione di meccanismi di fluorescenza diversi per particelle di differente potere ionizzante

# Scintillatori

Materiali che esibiscono la proprietà della luminescenza:  
quando esposti a certe forme d' energia (radiazione, calore, ...) assorbono e riemettono energia in forma di luce visibile

- riemissione immediata (entro 10 ns) → fluorescenza
- riemissione ritardata ( $\sim \mu\text{s} \div \sim \text{ora}$ ) → fosforescenza

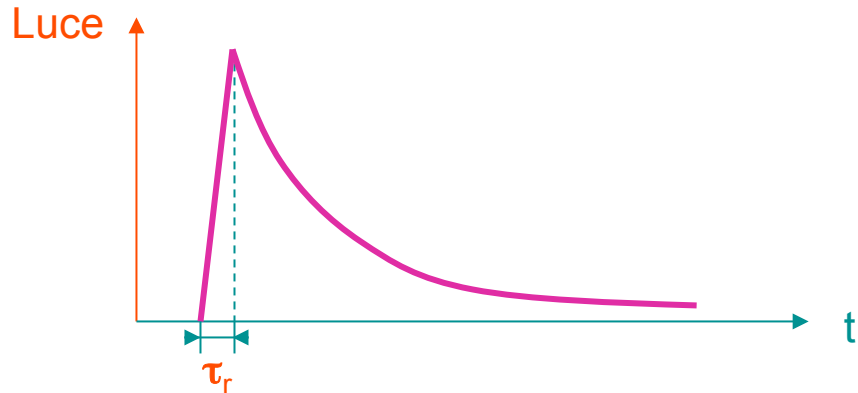
Andamento temporale del processo di riemissione:

$$N(t) = \frac{N_0}{\tau_d} e^{-t/\tau_d}$$

n. totale di fotoni emessi

costante di decadimento

# Scintillatori



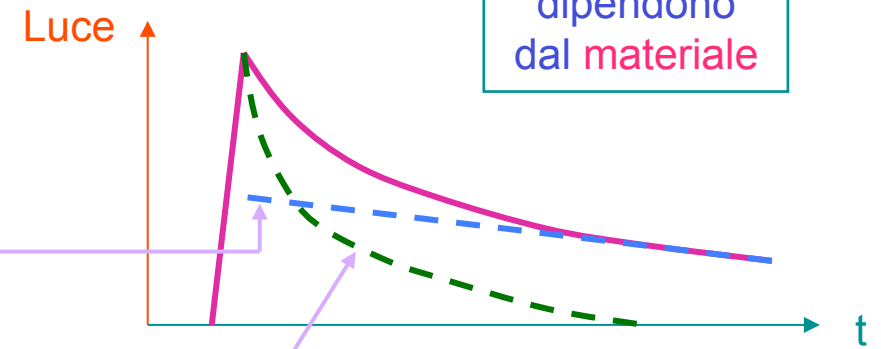
N.B. – tempo di salita  $\tau_r \ll \tau_d$

In molti casi il comportamento è più complesso:

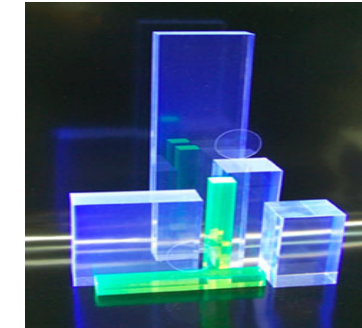
$$N(t) = A e^{-t/\tau_f} + B e^{-t/\tau_s}$$

fast

slow



# Scintillatori



Requisiti di un buono scintillatore:

- ✓ alta efficienza per la conversione Energia → Luce
- ✓ trasparenza alla sua luce di fluorescenza
- ✓ emissione luminosa in regione di frequenza sovrapposta a quella di sensibilità del PMT
- ✓ piccolo  $\tau_d$

Tipi di scintillatori:

- ❖ cristalli organici ( $C_{14}H_{10}$ ,  $C_{14}H_{12}$ ,  $C_{10}H_8$ )
- ❖ liquidi e plastici organici ( $C_{18}H_{14}$ ,  $C_{24}H_{16}N_2O_2$ )
- ❖ cristalli inorganici (NaI, CsI, BGO, BaF<sub>2</sub>)
- ❖ miscele gassose (90%  $^3He$  + 10% Xe)
- ❖ vetri (silicati di Li e B)

# Scintillatori Organici

composti di idrocarburi aromatici contenenti strutture ad anello benzenico condensate

Caratteristica essenziale: piccolo  $\tau_d$  (< qualche ns)

Meccanismo di scintillazione: eccitazione di livelli molecolari in un materiale fluorescente primario che dissecitandosi emette luce UV.

Luce UV è facilmente assorbita nella maggior parte dei materiali organici → aggiunta di secondo materiale fluorescente in cui questa luce è convertita in luce visibile: wavelength shifter, i.e. materiale con spettro di assorbimento compatibile con quello di emissione del primario e spettro di emissione adattato alla risposta spettrale del PMT

# Scintillatori Organici

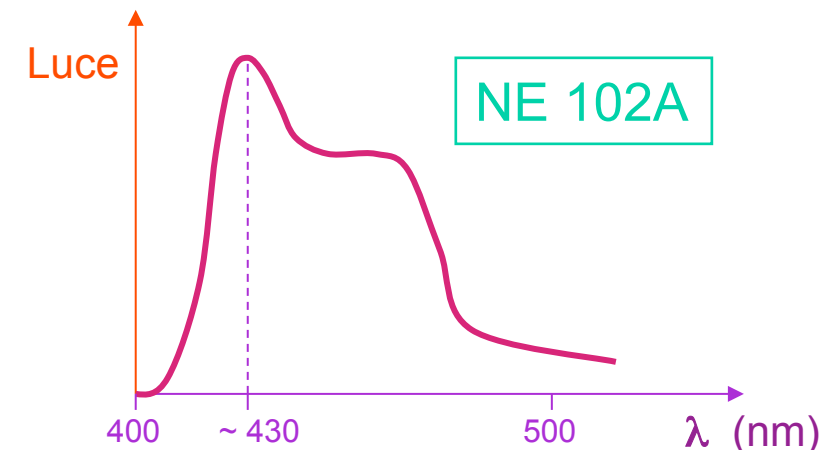
Particolarmente usati sono i plastici:

- $\tau_d = 2 \div 3 \text{ ns}$
- grande quantità di luce

Inoltre:

- facilmente sagomabili (film sottili, fogli, blocchi, cilindri)
- resistenti all' aqua pura e a colle al silicio
- basso costo

N.B. – basso Z → adatti per rivelazione di  $e^-$

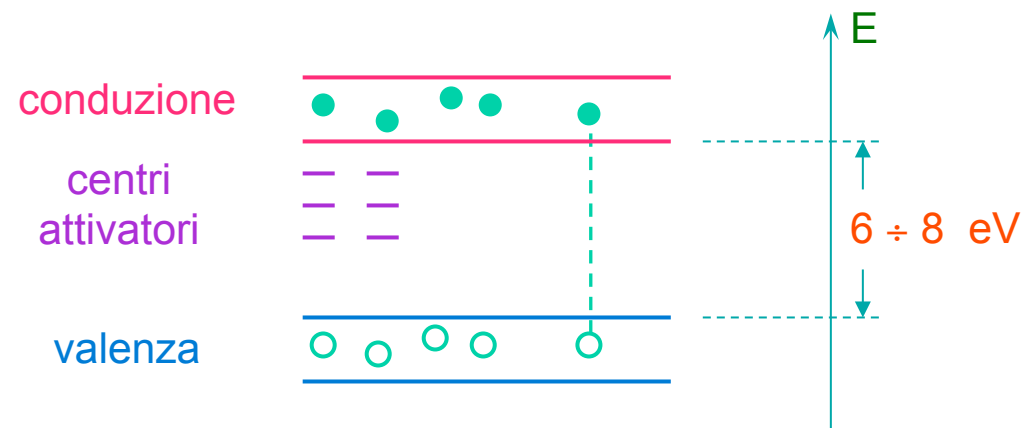


Svantaggi: facilmente attaccati da solventi organici (acetone)

# Scintillatori Inorganici

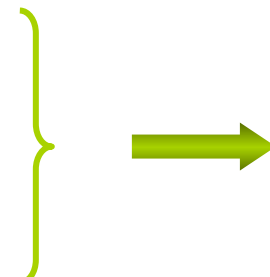
cristalli ionici dopati con centri attivatori (centri di colore)

Schema  
Livelli  
Energetici



Particella ionizzante → produzione di:

- elettroni liberi (●)
- lacune libere (○)
- coppie elettrone-lacuna = eccitoni (○---●)



# Scintillatori Inorganici

portatori di carica in moto attraverso il reticolo fino a che incontrano centro attivatore A → trasformazione in centro attivatore eccitato A\* che in seguito si ritrasforma in A con emissione di luce

tempo di decadimento della luce di scintillazione è dato da quello della transizione A\* → A e dipende dalla temperatura secondo la legge:

$$\exp\left(-\frac{E_c}{k_B T}\right)$$

Diagram illustrating the exponential decay law:

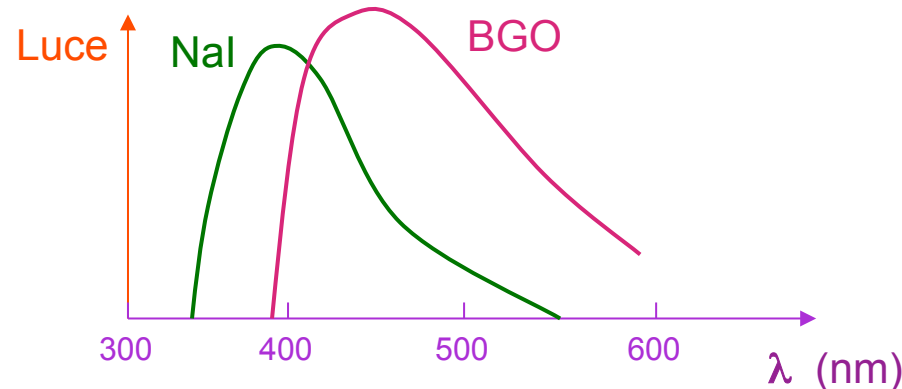
- A box labeled "energia d' eccitazione del livello A\*" has a downward arrow pointing to the term  $E_c$  in the equation.
- A box labeled "costante di Boltzman" has an upward arrow pointing to the term  $k_B T$  in the equation.

Luce » di quella emessa negli scintillatori organici → < fluttuazioni statistiche nel n. di fotoni emessi → migliore risoluzione energetica

# Scintillatori Inorganici

Uso più frequente come rivelatore di raggi X,  $\gamma$  e  $e^\pm$  di alta energia

Risposta di luce:



Risposta più lenta di quella degli organici (NaI:  $\tau_d = 250$  ns)

Svantaggio: igroscopicità → necessità di contenitore protettivo

Scintillatore inorganico più utilizzato: NaI dopato con Tallio (Tl)



# Fotomoltiplicatore

**principio di funzionamento e accoppiamento**

Stage Residenziale 2012

# Fotomoltiplicatore

Tubo elettronico che converte la luce in corrente elettrica misurabile

Struttura di schematica di un PMT

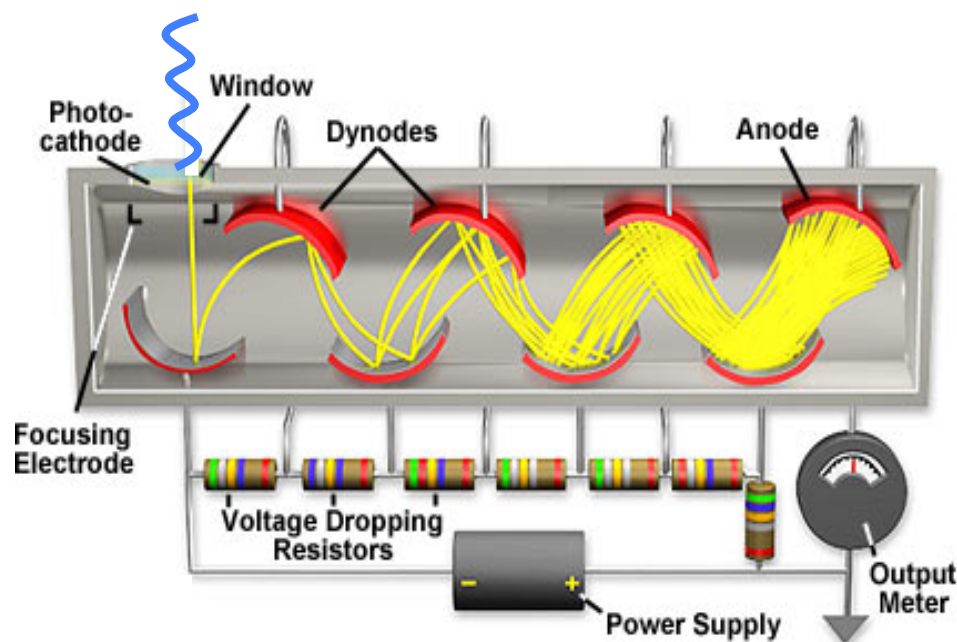
all' interno di un tubo di vetro sottovuoto si hanno:

- a) catodo di materiale fotosensibile (converte fotoni in elettroni)
- b) sistema di raccolta degli elettroni
- c) moltiplicatore di elettroni (sistema di dinodi)
- d) anodo di raccolta per la produzione del segnale finale

tensione (HV) è applicata al sistema catodo - dinodi - anodo tramite un partitore in modo da avere una d.d.p. a scala lungo la struttura

# Fotomoltiplicatore

Fotone visibile colpisce catodo → emissione, per effetto fotoelettrico, di  $e^-$  che, causa la tensione applicata, è accelerato ed indirizzato b) verso il 1<sup>a</sup> dinodo → emissione di  $e^-$  secondari che sono accelerati ed indirizzati verso dinodo successivo → formazione di cascata di  $e^-$  attraverso i dinodi c) → raccolta della cascata all' anodo d)



tragitto catodo – anodo  
richiede circa 40 ns

tempo di salita  
dell' impulso di corrente  
circa 2 ns

# Fotomoltiplicatore

a) Catodo: parametro fondamentale è l' efficienza quantica

$$\eta(\lambda) = \frac{N_{\text{ph.e.}}}{N_{\text{ph.i.}}(\lambda)}$$

Diagram illustrating the formula for quantum efficiency:

- A red box labeled "n. fotoelettroni emessi" has a green arrow pointing to the numerator  $N_{\text{ph.e.}}$ .
- A red box labeled "n. fotoni incidenti" has a green arrow pointing to the denominator  $N_{\text{ph.i.}}(\lambda)$ .

Materiale più usato: Sb-Rb-Cs  $\rightarrow \lambda_M = 420 \text{ nm}$ ;  $\eta(\lambda_M) \approx 30 \%$

b) Sistema di raccolta d' ingresso: 2 requisiti essenziali

- raccolta efficiente, i.e. maggior n. di  $e^-$  prodotti deve raggiungere il 1<sup>o</sup> dinodo, ovunque siano generati sul catodo
- tempo impiegato dagli  $e^-$  per giungere sul 1<sup>o</sup> dinodo deve essere indipendente da p.to di generazione sul catodo: influisce sulla risoluzione temporale del rivelatore

# Fotomoltiplicatore



particolari configurazioni di campo elettrico  
(quasi mai campi magnetici)

- c) Sistema di moltiplicazione: emissione di  $e^-$  molto simile all' effetto fotoelettrico: fotone è sostituito da  $e^- \rightarrow$  guadagno di singolo dinodo =  $\delta \rightarrow$  guadagno totale con  $n$  dinodi =  $\delta^n$

Requisiti:

- alto  $\delta$  (2 ÷ 3)
- stabilità dell' emissione secondaria
- bassa emissione termoionica → basso rumore

Materiale: terra alcalina (per l' emissione secondaria) deposta su conduttore (campo elettrico per accelerare  $e^-$ ) → lega Cu-Be

# Fotomoltiplicatore

**Partitore:** catena di resistenze dimensionate in modo da fornire una fissata d.d.p. tra i vari **dinodi**

Situazione da evitare assolutamente: grosse variazioni di potenziale tra i dinodi dovute alla variazione di corrente nel tubo, i.e. variazioni nel **guadagno totale** e nella **linearità del PMT**

Corrente che scorre nel partitore = bleeder current  $I_b$

$$\rightarrow \frac{\Delta G}{G} = \frac{< I_{\text{anodo}} >}{I_b}$$

Esempio:  $I_b \sim 100 < I_{\text{anodo}} >$   $\Rightarrow \Delta G / G \sim 1 \%$

# Fotomoltiplicatore

Operazione in regime pulsato → correnti di picco »  $I_b$  soprattutto negli stadi finali del partitore → cadute di potenziali transienti



## Soluzioni

1. Condensatori di disaccoppiamento negli stadi finali: forniscono carica durante i picchi di corrente e si ricaricano durante i periodi di assenza di picco
2. Diodi Zener: forniscono tensione costante per correnti maggiori di una certa corrente minima di soglia
3. Ad alta corrente, ulteriore HV esterna

# Guida di Luce

Sistema di trasporto della luce di scintillazione verso il PMT

Materiale plastico (plexiglass) opportunamente sagomato in modo da adattare la superficie di uscita dello scintillatore con quella d' ingresso del PMT → solo una frazione  $r$  della luce prodotta raggiunge il PMT



aumento di  $r$  per mezzo di geometrie più complicate (twisted): strisce separate di plexiglass attaccate all'estremità dello scintillatore e attorcigliate in modo da convergere nel PMT



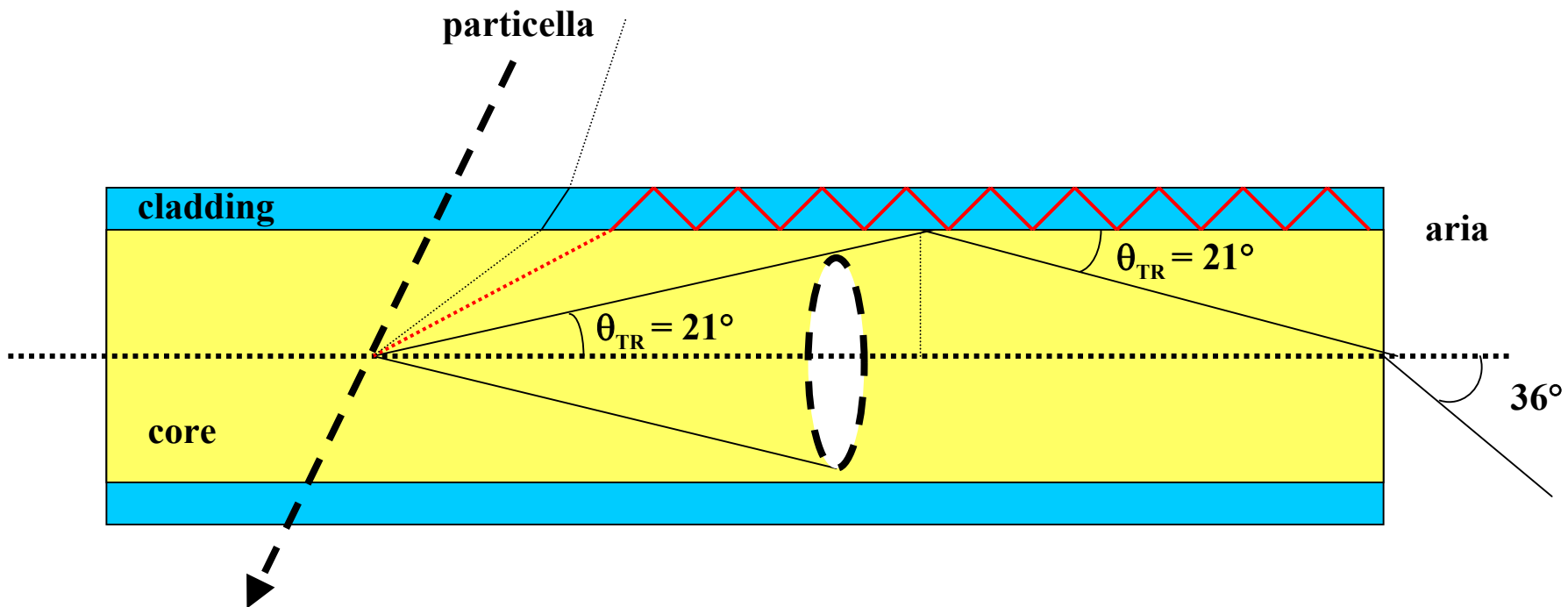
# Fibre Scintillanti

Stage Residenziale 2012

# Le fibre scintillanti

Uno scintillatore puo` essere realizzato sotto forma di una fibra ottica. La fibra e` costituita da un nucleo interno chiamato **“core”** e da un rivestimento trasparente detto **“cladding”**. Il core e` un materiale plastico (polistirene) opportunamente “drogato” con **molecole organiche**, l'indice di rifrazione e`  $n_1=1.6$ . Il cladding e` costituito di plexiglass  $n_2=1.49$ .

La luce nella fibra si propaga nel **core** per **riflessioni multiple**, procedendo entro un cono di apertura  $\Theta_{TR}=21^\circ$  (angolo di trapping, cioe` di “intrappolamento” della luce).



# Lunghezza di attenuazione

Le fibre scintillanti presentano una **attenuazione esponenziale della luce** trasmessa in funzione della distanza percorsa dalla luce stessa.

$$I(x) = I(0) e^{-x/\lambda} \text{ dove:}$$

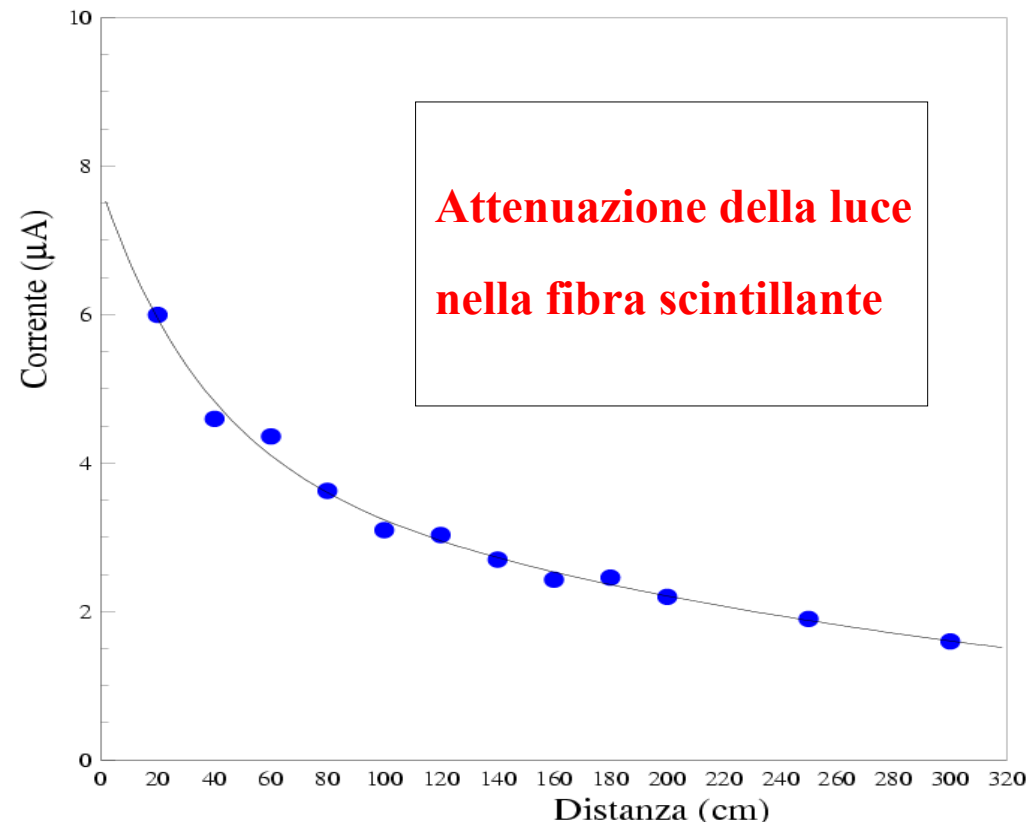
$x$  = distanza percorsa dalla luce

$\lambda$  = lunghezza di attenuazione

La lunghezza di attenuazione è la distanza per cui la luce inizialmente prodotta si è attenuata di un fattore “e” [ $\ln(e)=1$ ] (cioè  $e \sim 2.7$ ).

Le fibre scintillanti hanno il vantaggio di avere una grande lunghezza di attenuazione ( $\lambda=3\div4$  m) e quindi il loro impiego è consigliato nel caso di rivelatori “lunghi”.

2002/06/27 17.55





# Calorimetri

Stage Residenziale 2012

# Indice

- ✓ Principi di funzionamento
- ✓ Tipi di calorimetri
- ✓ Esempi di calorimetri elettromagnetici
  - ❖ KLOE
  - ❖ ATLAS
  - ❖ CMS

# Principi di base

- Trasformano l'energia della particella in un segnale che può essere misurato, tipicamente per eccitazione o ionizzazione, nella parte attiva del calorimetro
- Nei calorimetri l'energia viene misurata attraverso il totale assorbimento delle particelle nel mezzo assorbitore (metodo distruttivo).
- La risposta del rivelatore è proporzionale all'energia della particella  $S = K E$
- Il principio di base è la formazione di una cascata:
  - Elettromagnetica ( $e^+$ ,  $e^-$ ,  $\gamma$ )
  - Adronica ( $\pi$ ,  $n$ ,  $p$ ,  $k\dots$ )
- La risoluzione energetica migliora all'aumentare dell'energia:

$$\sigma/E \propto 1/\sqrt{n} \propto 1/\sqrt{E}$$

# Caratteristiche generali

- Non necessitano di campo magnetico
- I calorimetri possono rivelare:
  - Particelle cariche
  - Particelle neutre
- In caso di copertura ermetica, è possibile misurare l'energia mancante  
→ evidenza di neutrini e altre particelle debolmente interagenti
- La dimensione scala con il  $\ln(E)$
- Possono misurare energia e posizione (facilmente segmentabili).
- PID
- Risposta veloce → trigger

# Perdita di energia per elettroni

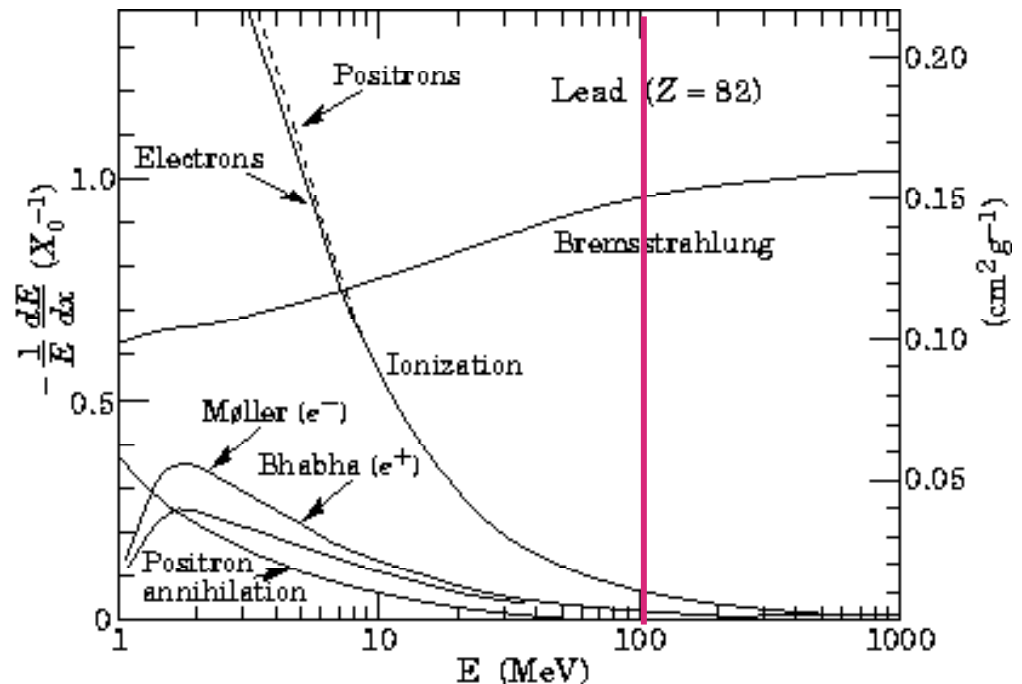
Gli elettroni perdono energia per collisione e per radiazione. Ad energie maggiori di 100 MeV, la perdita di energia per Bremsstrahlung, cioè della radiazione emessa dagli  $e^\pm$  che vengono deviati nel campo coulombiano dei nuclei dell'assorbitore è dominante.

$$\left. \frac{dE}{dx} \right|_{\text{irr}} = -\frac{E}{X_0}$$

Lunghezza  
di radiazione

$$X_0 = \frac{716.4 \text{ g cm}^{-2} A}{Z(Z+1) \ln(287/\sqrt{Z})}$$

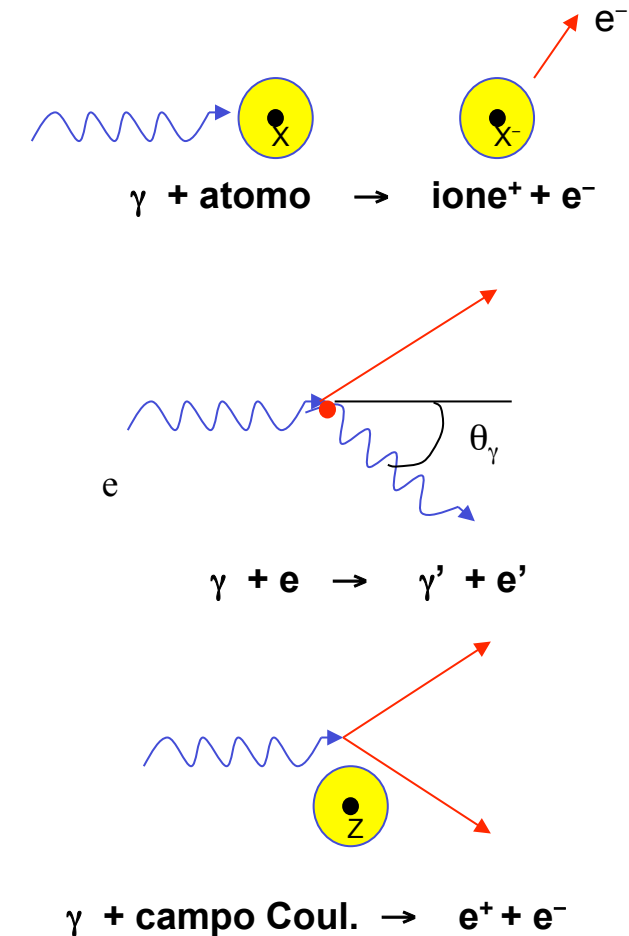
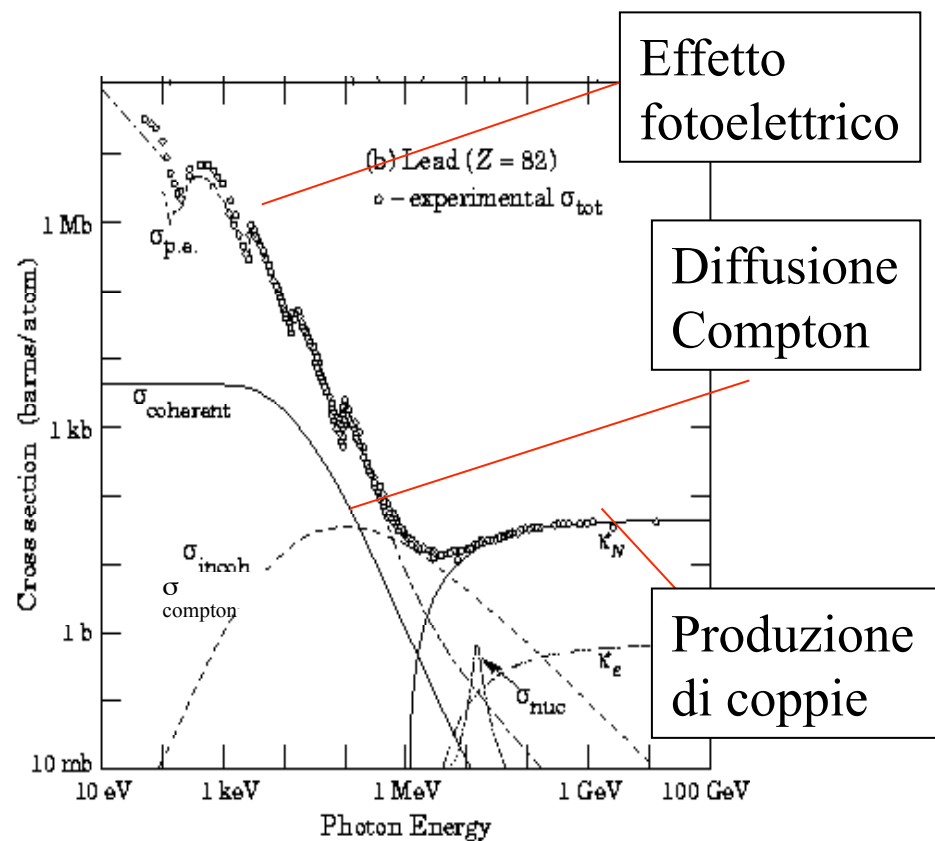
$$\left. \frac{dE}{dx} \right|_{\text{tot}} = \left. \frac{dE}{dx} \right|_{\text{coll}} + \left. \frac{dE}{dx} \right|_{\text{irr}}$$



L'energia in cui  $\left. \frac{dE}{dx} \right|_{\text{coll}} = \left. \frac{dE}{dx} \right|_{\text{irr}}$  è chiamata energia critica. Per  $E > E_c$  la Brems. è dominante e l'energia decresce esponenzialmente come  
 $E(x) = E_0 e^{(-x/X_0)}$

# Perdita di energia per fotoni

Per poter essere rivelato un **fotone** deve **creare o cedere** energia ad una **particella carica**

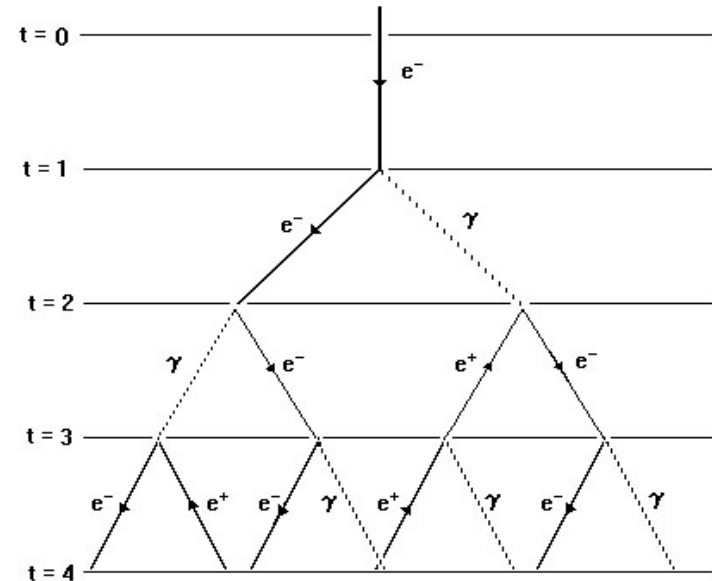


La creazione di coppie avviene solo per energie maggiori di  $2 m_e$  ed è il fenomeno dominante per  $E > 20 \text{ MeV}$ .

# Cascata elettromagnetica

Per energie abbastanza alte possiamo considerare solo la perdita di energia per radiazione (elettroni) e la produzione di coppie (fotoni).

L'insieme dei 2 processi da luogo alla cascata elettromagnetica.



Sviluppo longitudinale: aumento della cascata ogni  $X_0$ . Ad ogni passo l'energia della particella viene divisa in 2 parti uguali.

Sviluppo trasversale: allargamento laterale della cascata dovuto allo scattering multiplo degli elettroni e ai fotoni di bassa energia.

# Sviluppo longitudinale dello sciame

Dopo  $n = X/X_0$  lunghezze di radiazione:

$$N_{\text{sec}} = 2^n \quad E_{\text{sec}} = \frac{E_0}{2^n}$$

La cascata continua fino a quando:

$$E(t) > E_c$$

Il massimo dello sciame si ha per:

$$t_{\max} = \frac{\ln E_0/E_c}{\ln 2}$$

Dopo  $t = t_{\max}$  I processi dominanti sono la ionizzazione, l'effetto Compton e l'effetto fotoelettrico → assorbimento.

Si forma in questo modo la **coda dello sciame**

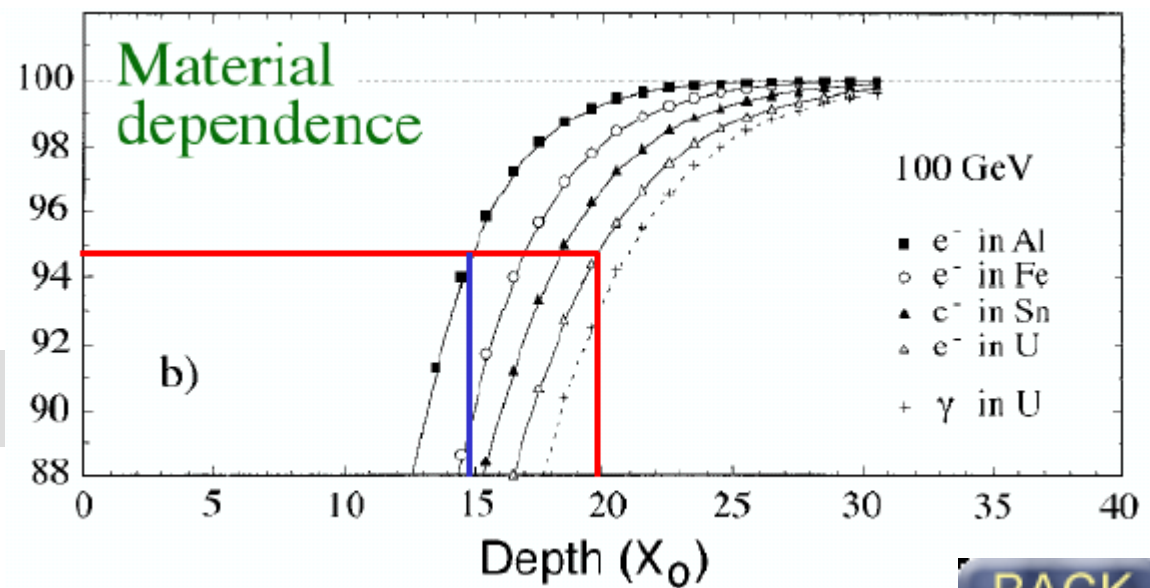
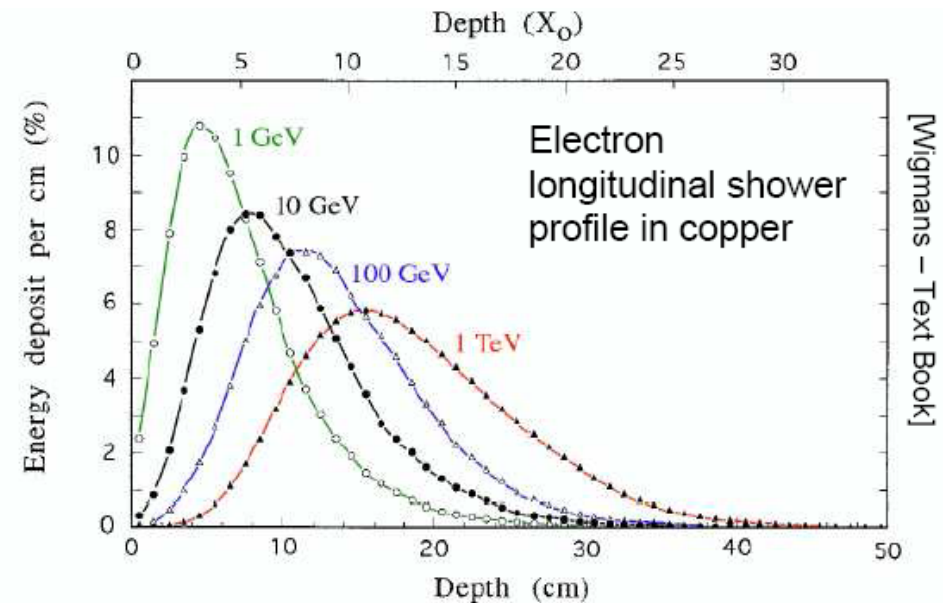
# Sviluppo longitudinale dello sciame

Profilo longitudinale dello sciame in funzione dell'energia.

Il massimo dello sciame varia come  $\ln(E)$

Per la scelta dell'assorbitore, occorre vedere quante  $X_0$  sono necessarie per assicurarci il contenimento dello sciame.

$$X_{95\%} = X_{Max} + 0.08Z + 9.6$$



BACK

# Sviluppo trasversale dello sciame

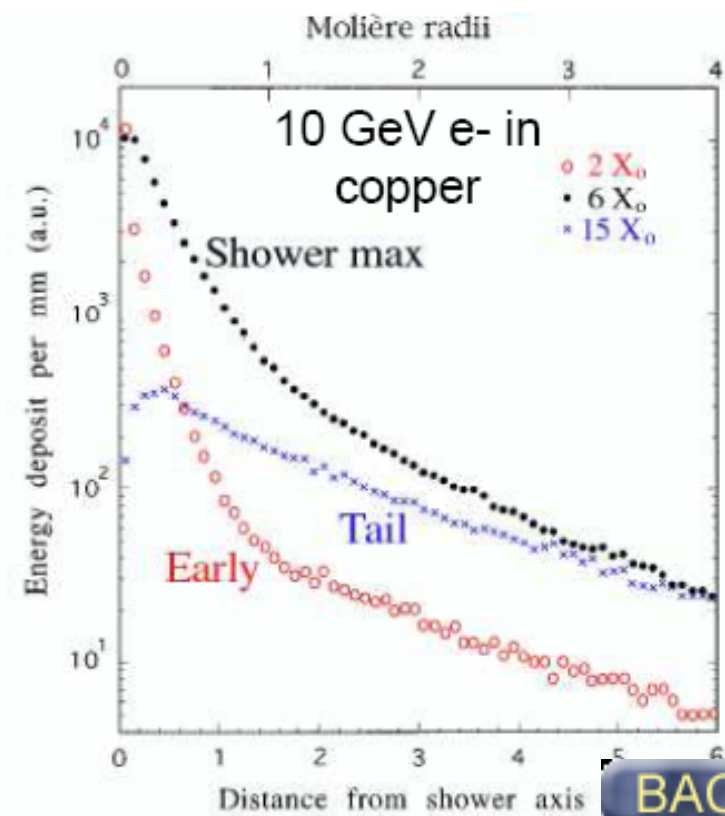
Lo sviluppo dello sciame comporta anche un allargamento laterale della cascata dovuto allo scattering multiplo degli elettroni e ai fotoni di bassa energia nel range Compton.

Per descrivere l'allargamento si definisce:

$$R_M = \frac{21 \text{ MeV}}{E_c(\text{MeV})} X_0 \quad [\text{g/cm}^2] \quad \text{Raggio di Moliere}$$

**75%  $E_0$  in  $1R_M$ :**  
**95% in  $2R_M$ :**  
**99% in  $3.5R_M$**

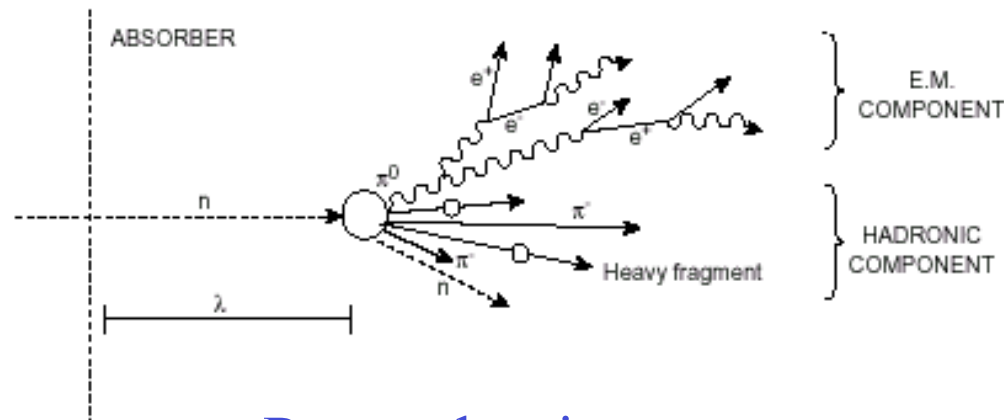
Material	Z	$X_0/\text{cm}$	$E_c/\text{MeV}$	$R_M/\text{cm}$
LAr	18	14	37	8
Fe	26	1.8	22	1.7
Lead	82	0.56	7.4	1.6



**BACK**

# Rivelazione di adroni

Gli adroni nei materiali, oltre alla perdita di energia se carichi, danno origine ad interazioni nucleari eccitando o frantumando il nucleo.



Parte adronica

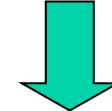


Pioni carichi, K, neutroni.

Inoltre, avvengono fenomeni che rilasciano energia invisibile nel rivelatore (rottura di nuclei pesanti, neutrini).

+

Parte elettromagnetica



$\pi^0 \rightarrow 2\gamma \rightarrow$  cascata EM  
 $N(\pi^0) \propto \ln(E)$

**Grosse fluttuazioni energetiche → limitata risoluzione energetica**

A parità di energia, le cascate adroniche sono molto più lunghe e ampie di quelle elettromagnetiche.

# Rivelazione di adroni

In analogia con l'interazione elettromagnetica si definisce il coefficiente di assorbimento adronico:

$$\lambda_a = \frac{A}{N_A \sigma_{inel}}$$

Material	Z	A	$\rho$ [g/cm <sup>3</sup> ]	$X_0$ [g/cm <sup>2</sup> ]	$\lambda_a$ [g/cm <sup>2</sup> ]
Hydrogen (gas)	1	1.01	0.0899 (g/l)	63	50.8
Helium (gas)	2	4.00	0.1786 (g/l)	94	65.1
Beryllium	4	9.01	1.848	65.19	75.2
Carbon	6	12.01	2.265	43	86.3
Nitrogen (gas)	7	14.01	1.25 (g/l)	38	87.8
Oxygen (gas)	8	16.00	1.428 (g/l)	34	91.0
Aluminium	13	26.98	2.7	24	106.4
Silicon	14	28.09	2.33	22	106.0
Iron	26	55.85	7.87	13.9	131.9
Copper	29	63.55	8.96	12.9	134.9
Tungsten	74	183.85	19.3	6.8	185.0
Lead	82	207.19	11.35	6.4	194.0
Uranium	92	238.03	18.95	6.0	199.0

**Sviluppo longitudinale dello sciame:** il 95% della cascata è contenuta in una lunghezza:

$$t_{95\%} = a \ln E + b$$

E = energia della radiazione incidente

a, b= costanti dipendenti dall'assorbitore

**Sviluppo laterale dello sciame:** lo sciame consiste di core centrale + un alone. Il 95% dello sciame è contenuto in un cilindro di raggio  $\lambda_a$ .

# Tipi di calorimetri

# Tipi di calorimetri

Dai depositi energetici si deve generare il “segnale”.

**Calorimetri omogenei:** singolo materiale che agisce contemporaneamente da assorbitore e mezzo attivo che trasforma tutta l'energia depositata in segnale.

**Calorimetri eterogenei:** assorbitore e mezzo attivo costituiti di materiale differente. Il segnale è generato da una parte dell'energia depositata nel mezzo attivo.

I calorimetri EM sono più piccoli di quelli HAD in virtù della differenza di dimensione delle cascate ( $\lambda_a > X_0$ )

I calorimetri elettromagnetici sono i più semplici da comprendere in quanto il fotone e l'elettrone che incidono creano degli sciami nel materiale il cui comportamento è oggi completamente descritto da simulazioni dettagliate al computer.

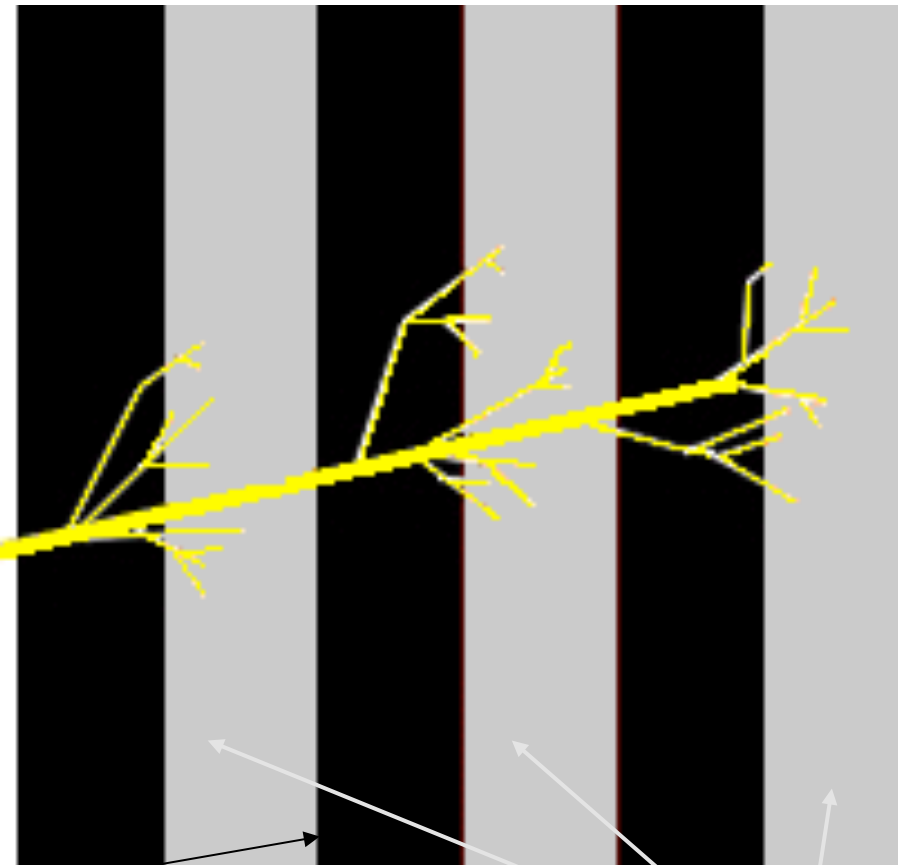
# Calorimetri eterogenei

## Struttura a sandwich!!

Strati di assorbitore e  
materiale attivo intervallati:

- Facilità di montaggio
- Costi ridotti
- Alta versatilità in
  - granularità di lettura
  - componente attiva

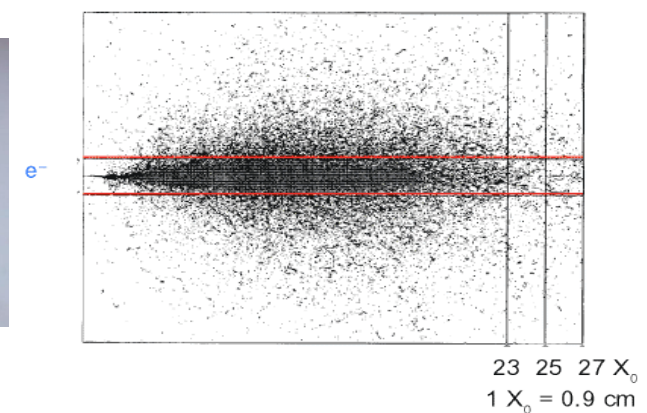
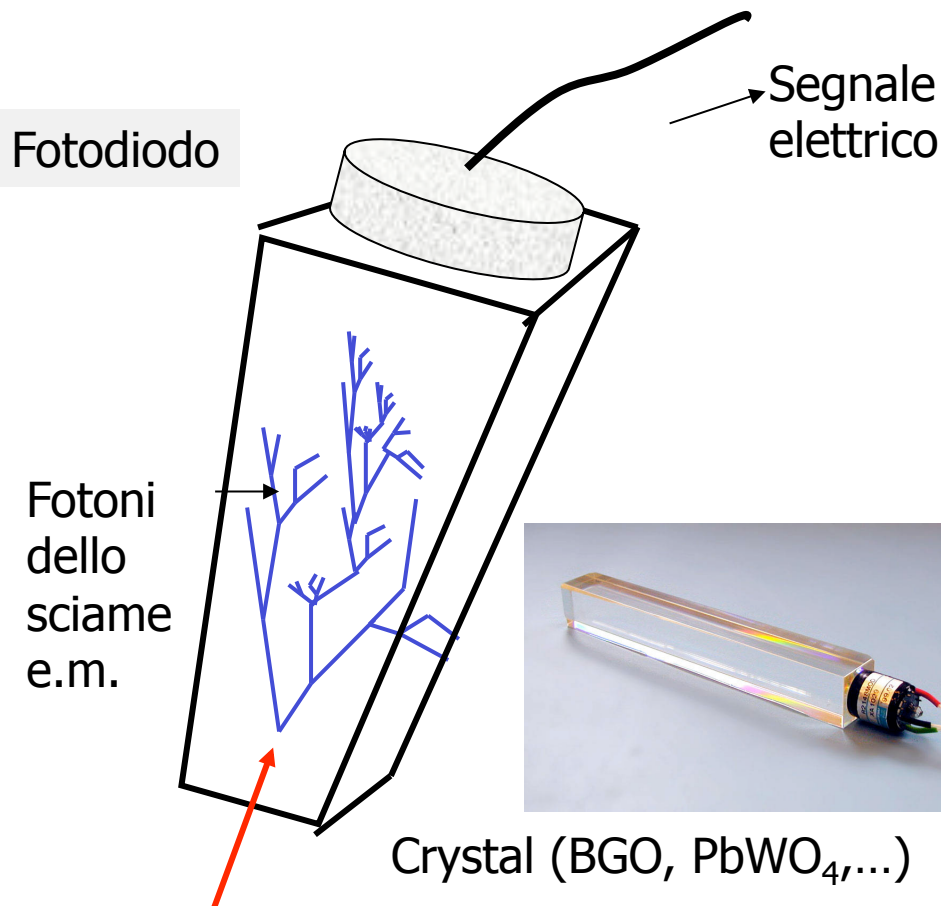
Materiali assorbenti  
Densi ad alto Z:  
PB, W ...



Rivelatori di particelle cariche,  
scintillatori, camere proporzionali,  
camere a ionizzazione (Kr, Xe),  
fibre scintillanti

# Calorimetri omogenei

Calorimetri composti solo  
di componente attiva



Questi cristalli sono usati anche in altri campi, in particolare in campo medico perché permettono alte risoluzioni per fotoni di bassa energia (PET)

# Risoluzioni energetiche

La risoluzione energetica di un calorimetro può essere parametrizzata come:

$$\frac{\sigma}{E} = \frac{a}{\sqrt{E}} \oplus \frac{b}{E} \oplus c$$

-a → **termine statistico o di campionamento:**

- fluttuazioni intrinseche dello sciame
- fluttuazioni di campionamento

-b → **termine di rumore**

- rumore elettronico
- pileup – fluttuazioni energetiche dovute ad altre sorgenti

-c → **termine costante**

- non uniformità nella produzione e raccolta del segnale
- errori di calibrazione
- fluttuazioni della componente em dello sciame adronico

# HCAL

I calorimetri adronici sono molto più complicati di quelli EM perchè gli sciami creati dagli adroni nel materiale non sono perfettamente descrivibili.

In uno sciame adronico troviamo:

- 1) complicata produzione di secondari
- 2) presenza di componente elettromagnetica per creazione di  $\pi^0$  [ $f_{em}(E) \approx 0.11 \ln(E)$ ]
- 3) neutrini e muoni da decadimenti deboli di  $\pi$ , K
- 4) processi nucleari

Oltre ai fenomeni di campionamento e raccolta segnale questi calorimetri mostrano **un limite intrinseco nella risoluzione** causato dalle fluttuazioni in energia non rivelata (3)+(4).

Inoltre se c'è diversità nella risposta tra elettroni e adroni ( $e/h > 1$ ) si crea a causa di (2) una non-linearità nella risposta ed un deterioramento della risoluzione.

Si chiamano compensati i calorimetri adronici per i quali si impone  $e/h = 1$ .  
Per questi calorimetri si ottengono risoluzioni:

**$\sigma/E = 44 \% \sqrt{E(\text{GeV})}$  vs 80-100 % per quelli non compensati**

# Il calorimetro elettromagnetico di KLOE

# Es. calorimetro EM: KLOE

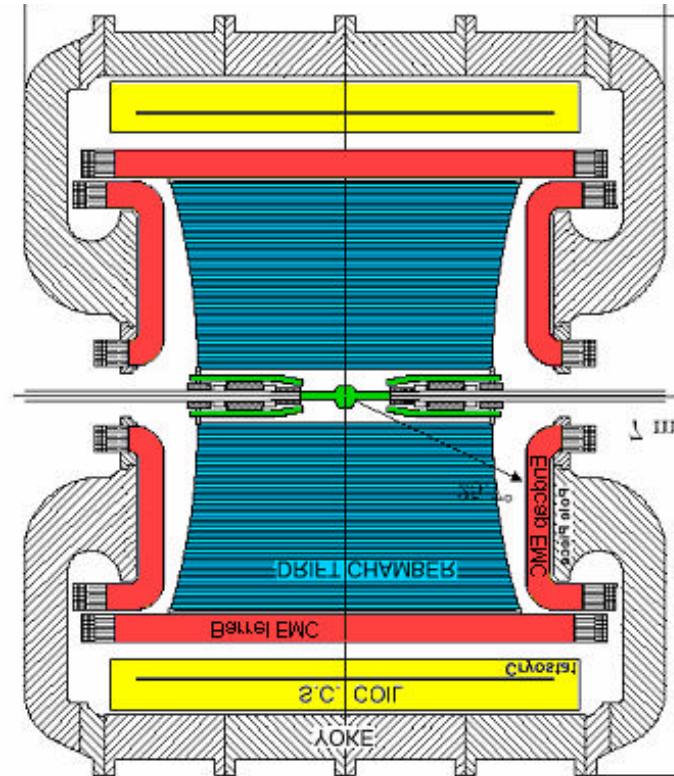
In questo caso il calorimetro deve:

- distinguere tra  $K_L \rightarrow 3\pi^0$  e  $K_L \rightarrow 2\pi^0$
- ricostruire il vertice fotonico di decadimento con risoluzioni del cm
- distinguere tra  $\pi$  e  $\mu$

Calorimetro a campionamento:

## Piombo-fibre scintillanti

- struttura cilindrica compatta.
- spessore dei moduli 23 cm  $\rightarrow 15 X_0$
- copertura 98% dell'angolo solido
  - barrel 24 moduli
  - endcap 32 moduli ciascuno
- 4880 PM
- granularità  $4.4 \times 4.4 \text{ cm}^2$



$$\sigma_t = \frac{57 \text{ ps}}{\sqrt{E(\text{GeV})}}$$

$$\frac{\sigma_E}{E} = \frac{5.7\%}{\sqrt{E(\text{GeV})}}$$

# I calorimetri EM di ATLAS e CMS

# Es. di calorimetro EM: ATLAS

Il calorimetro EM è studiato per rivelare i fotoni e le coppie e<sup>+</sup>e<sup>-</sup> del decadimento del H

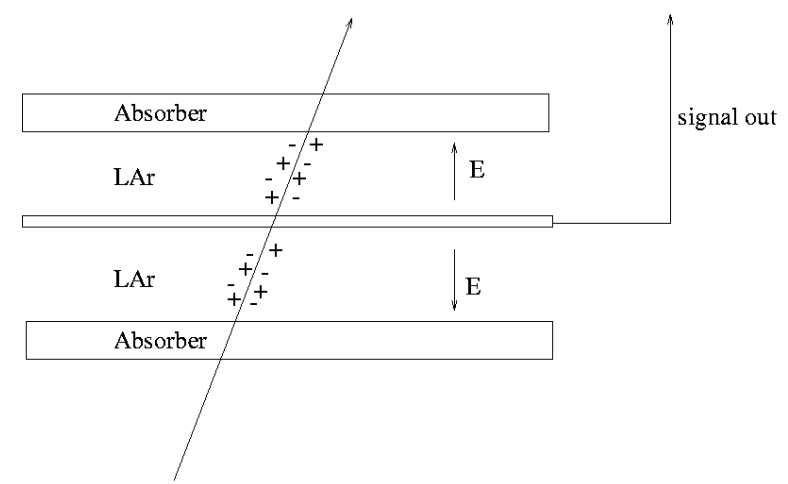
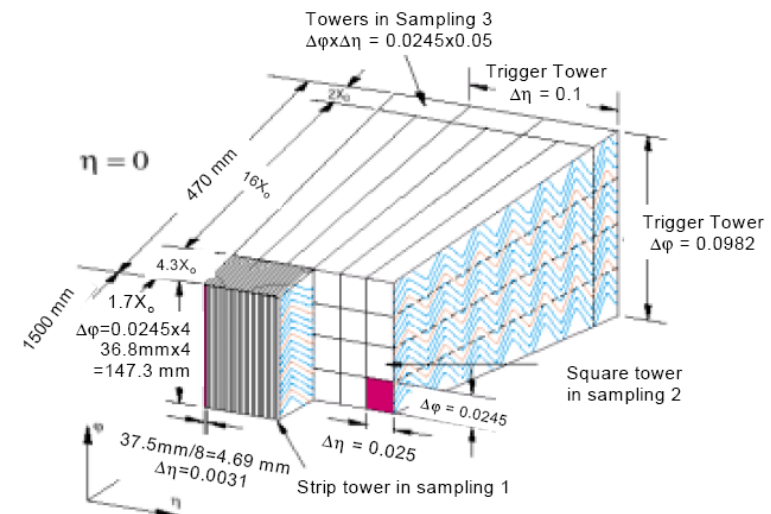
## Calorimetro a sampling: Piombo-liqAr

- Buona resistenza alla radiazione
- Buona ermiticità
- Spessore:
  - barrel >24X<sub>0</sub>
  - endcap >26X<sub>0</sub>

~200000 canali

Il passaggio di una particella carica nell'Argon crea coppie elettrone-ione che si muovono grazie al campo elettrico applicato. Questa tecnica si basa sulla rivelazione della corrente prodotta da questo movimento.

$$\frac{\sigma}{E} = \frac{10\%}{\sqrt{E(GeV)}} \oplus \frac{0.25}{E(GeV)} \oplus 0.7\%$$



# Es. calorimetro EM: CMS

Le condizioni “al contorno” sono le stesse di ATLAS (alta radiazione, detector veloce, alta granularità)

Calorimetro omogeneo formato da cristalli di PbWO<sub>4</sub>

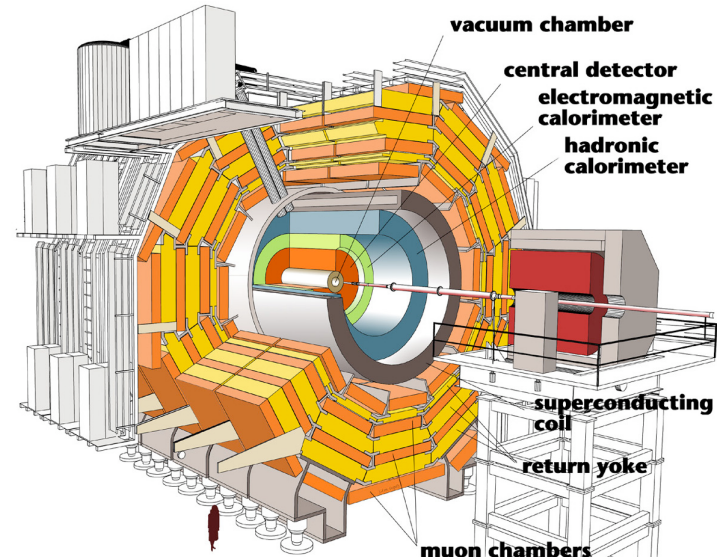
- ottima risoluzione energetica
- calorimetro compatto
- basso LY → scelta rivelatori fotoni

Barrel: 612000 cristalli letti da 2 APD

Endcap: 14488 cristalli letti da 1 PM

APD: funzionamento in alto B, buona risoluzione e amplificazione x25

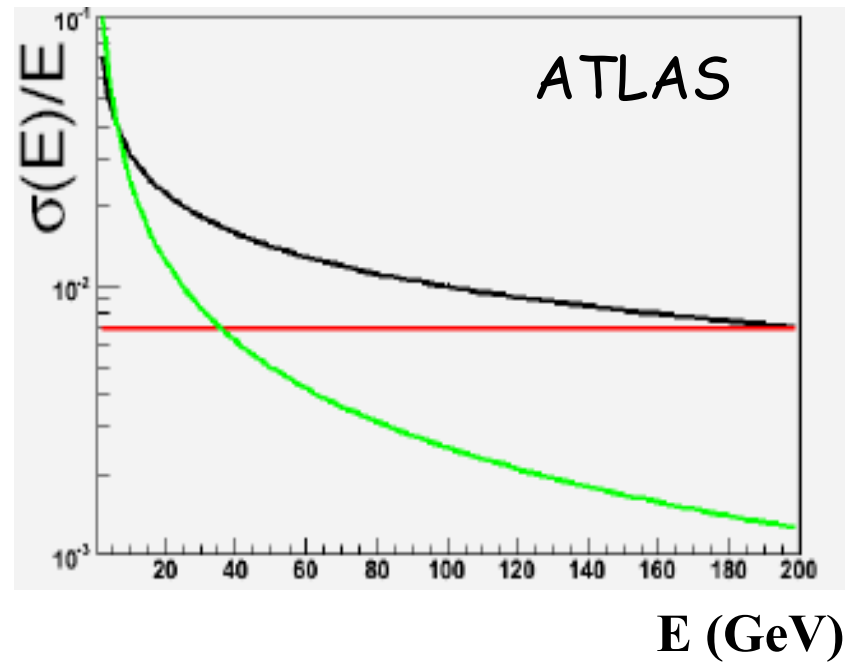
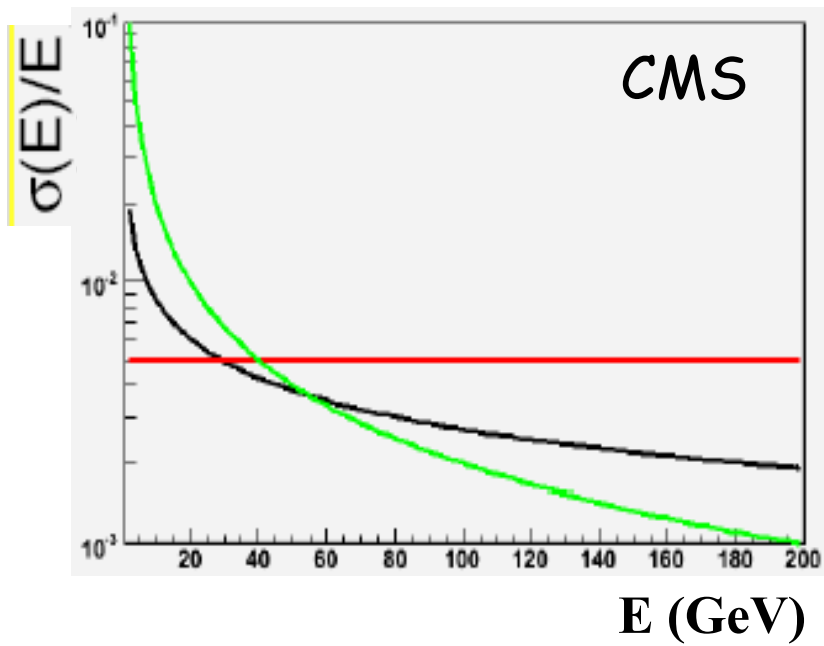
$$\frac{\sigma}{E} = \frac{2.7\%}{\sqrt{E(GeV)}} \oplus 0.55\% \oplus \frac{0.2}{E}$$



Parameter	Value
Radiation length	cm 0.89
Moliere radius	cm 2.2
Hardness	Moh 4
Refractive index	2.3
Peak emission	nm 440
% of light in 25 ns	80%
Light yield (23 cm)	γ/MeV 100

# Confronto EMC ATLAS-CMS

Confronto tra le risoluzioni dei prototipi:



CMS, ad alta energia, ha una migliore risoluzione energetica

# Confronto EMC ATLAS-CMS

## Confronto nella rivelazioni del decadimento $H \rightarrow \gamma\gamma$

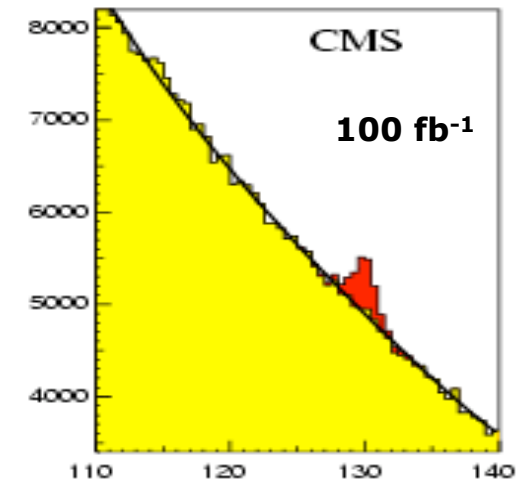
Larghezza sperimentale di  $m_{\gamma\gamma} = 2E_1 E_2 (1 - \cos\theta_{\gamma\gamma})$ :

$$\frac{\sigma_m}{m} = \frac{1}{\sqrt{2}} \left[ \left( \frac{\sigma_1}{E_1} \right) \oplus \left( \frac{\sigma_2}{E_2} \right) \oplus \left( \frac{\sigma_\vartheta}{\tan(\vartheta_{\gamma\gamma}/2)} \right) \right]$$

Risoluzioni energetiche  
ATLAS=1.2 GeV  
CMS=0.7 GeV

$$\sigma_\vartheta = \frac{50 \text{ mrad}}{\sqrt{E}}$$

Uguale per  
ATLAS e  
CMS



CMS punta ad una migliore risoluzione energetica con un termine costante basso

ATLAS utilizza un calorimetro segmentato e questo consente di fare misure ridondanti dell'angolo dei fotoni → migliore misura della direzione di arrivo dei fotoni

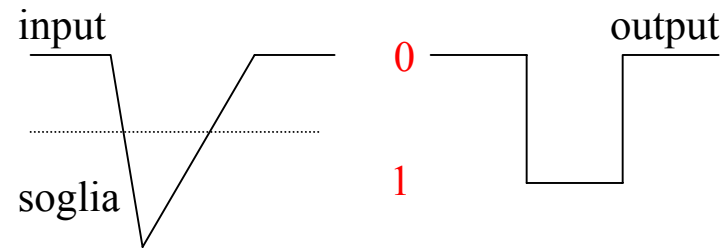


# Strumentazione elettronica

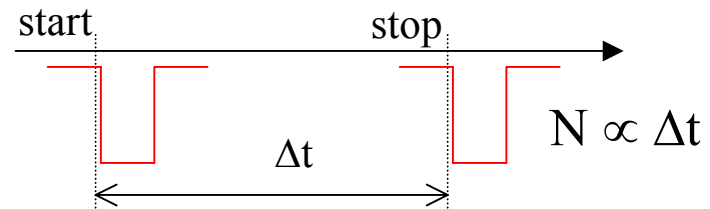
Stage Residenziale 2012

# Strumentazione utilizzata

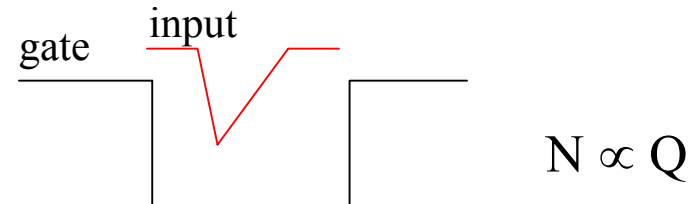
**Discriminatori a soglia DISCR:** circuiti che trasformano il segnale analogico proveniente dal fotomoltiplicatore in un segnale **digitale** (di valore 0 o 1), se il segnale in ingresso supera un certo valore minimo (detto **soglia**).



I **TDC** (Time to Digital Converter) forniscono un numero di conteggi  $N$  proporzionale al tempo di arrivo della particella (stop) .



Gli **ADC** (Analog to Digital Converter) forniscono un numero di conteggi  $N$  proporzionale alla carica elettrica totale  $Q$  del segnale del PM, a sua volta proporzionale all'energia persa dalla particella nelle fibre.



Gli **SCALER** contano il numero di segnali digitali in ingresso.

Tutte le informazioni lette tramite un **Controllore CAMAC** vengono poi inviate ad un computer che acquisisce e memorizza i dati.



# Misura dei plateau di un PMT

Stage Residenziale 2012

# Setup iniziale e possibili misure

Prima di utilizzare il rivelatore, occorre stabilire i valori di alcuni parametri (soglie dei discriminatori, tensione di lavoro dei fototubi). A tale scopo effettuiamo le seguenti operazioni :

1. Misura del plateau in soglia
2. Misura del plateau in tensione
3. Intercalibrazione dei canali dei fotomoltiplicatori PMi

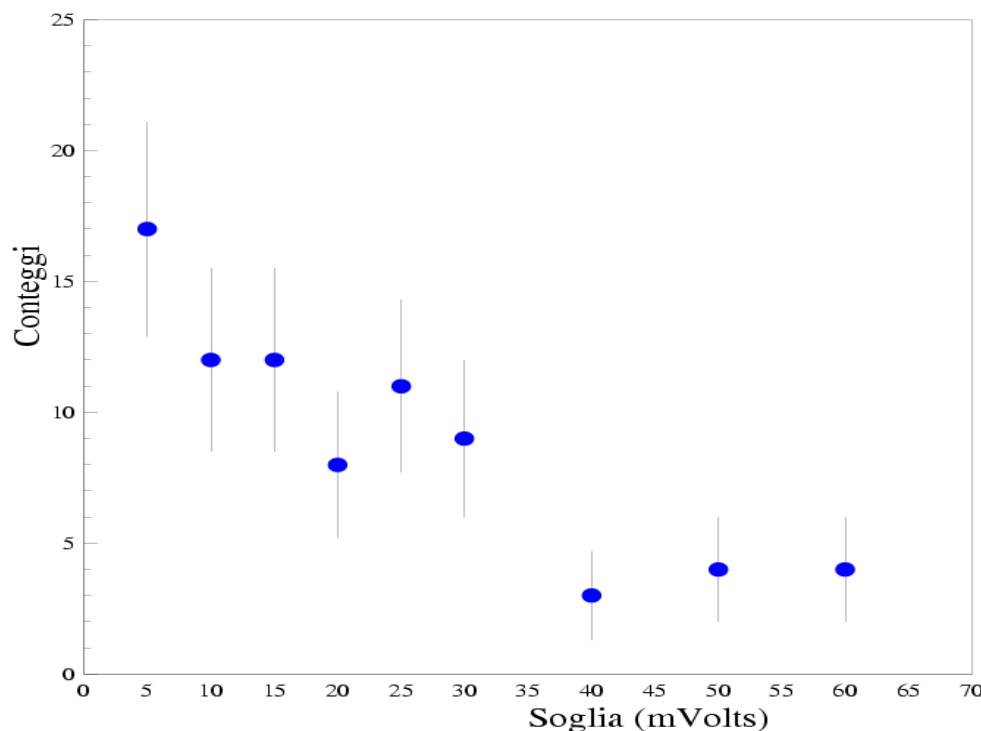
# Plateau in soglia

Si misurano i conteggi al variare della **tensione di soglia del discriminatore**. La curva mostra un andamento prima decrescente e poi stabile, tipico di una curva di soglia. La zona “piatta” è detta “plateau” e permette di definire il valore della soglia da impostare.

Se la soglia scelta è **troppo bassa**, non vengono filtrati gli eventi rumorosi.

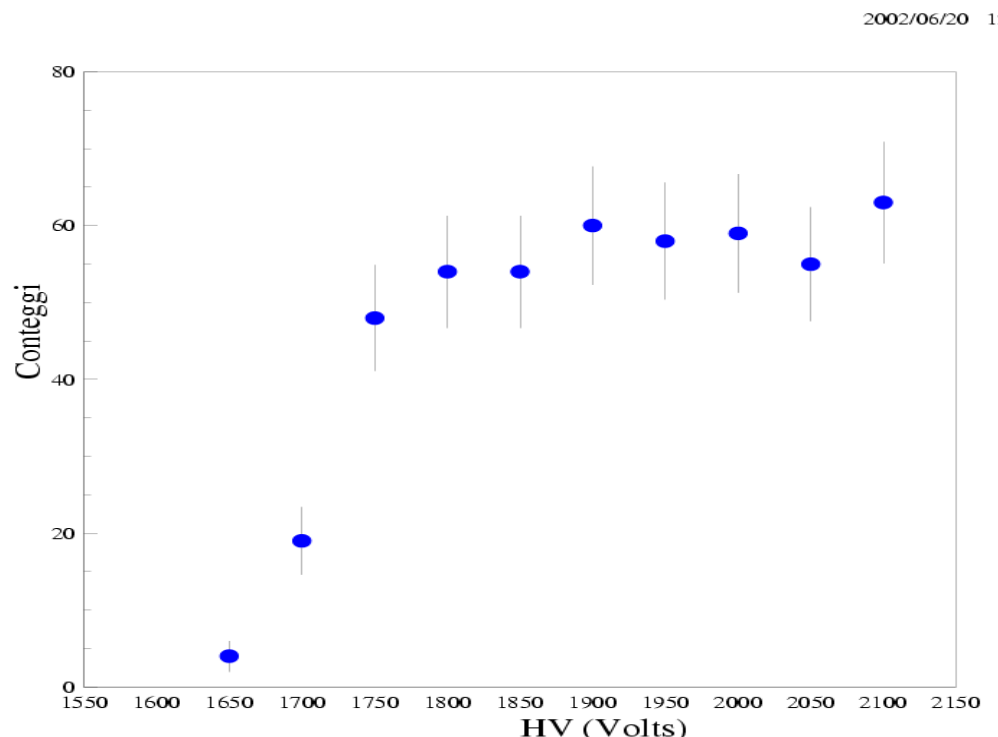
Se la soglia è **troppo alta**, non vengono acquisiti eventi “buoni” (**diminuisce l’efficienza**).

2002/06/20 12.24



# Plateau in tensione

Si misura il numero di **conteggi** (in un intervallo di tempo fissato) che rappresenta il numero di particelle rivelate in funzione della **tensione di alimentazione** applicata al fotomoltiplicatore. Si puo' notare che l'efficienza del rivelatore cresce al variare della tensione, fino a raggiungere un valore di "plateau". La **tensione di lavoro** viene scelta in questa zona, per avere la massima **stabilita`** del rivelatore (cioe` efficienza stabile nel tempo).





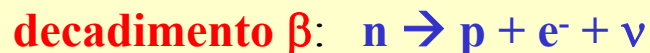
# Metodi di calibrazione di un rivelatore

Stage Residenziale 2012

# Calibrazione relativa con sorgente radioattiva

Per ogni elemento chimico di **numero atomico Z** (numero di protoni nel nucleo) ci sono diversi **isotopi**: nuclei con diverso numero totale di nucleoni A (quindi un diverso numero di neutroni  $N = A - Z$ ). Un difetto od un eccesso di neutroni, rispetto alla combinazione più stabile, porta ad un nucleo instabile (radioattivo) che tende a decadere, cioè a trasformarsi in un nucleo maggiormente stabile.

Nel nostro caso, abbiamo una sorgente di **Sr (A=90, Z=38)** con due neutroni in eccesso rispetto allo Stronzio allo stato fondamentale Sr (A=88, Z=38). Con un tempo di dimezzamento  **$t_{1/2} = 28.5$  anni** si trasforma in **Y (A=90, Z=39)** attraverso un



L'elettrone emesso ha un'energia massima :  **$E_1 = 546 \text{ keV}$** .

Il nucleo di Yttrio prodotto è a sua volta instabile e decade “immediatamente” in Zirconio **Zr (A=90, Z=40)** emettendo un elettrone di energia massima  **$E_2 = 2283 \text{ keV}$** .

# Altre sorgenti di calibrazione

Anche se le sorgenti costituiscono un metodo veloce di controllo, non sono semplici da utilizzare in esperimenti con rivelatori grandi e/o dotati di un numero elevato di canali.

In questi casi si preferisce utilizzare:

- eventi di fisica noti dell'esperimento stesso
- fasci di particelle note di energia definita (fasci di test)
- i **raggi cosmici**, fonte naturale e costante di particelle.

# I raggi cosmici (I)

La **radiazione cosmica** che incide sulla sommità dell'atmosfera terrestre è costituita da tutte le **particelle cariche stabili** e dai **nuclei atomici** con vite medie > 1 milione di anni. Si definiscono **raggi cosmici primari** le particelle che vengono prodotte ed accelerate localmente da una sorgente astrofisica (per es. una supernova). I **raggi cosmici secondari** sono quelli prodotti dall'urto dei raggi cosmici primari con il gas interstellare (l'insieme delle particelle presenti nello spazio tra le stelle).

I raggi cosmici primari sono prevalentemente: **elettroni, protoni, nuclei di Elio, Carbonio, Ossigeno e Ferro** (che si formano nelle stelle).

Altri nuclei come Litio, Berillio, Boro sono raggi secondari perché non vengono prodotti nelle stelle. Le antiparticelle: anti-elettroni (o positroni) e antiprotoni sono raggi cosmici secondari.

A parte l'attività solare (solar flares), la radiazione cosmica proviene dall'esterno del sistema solare e sull'atmosfera terrestre giunge un **flusso isotropo** di particelle. La radiazione che giunge sull'atmosfera è costituita prevalentemente da nuclei atomici di:

**H (protoni):  $\sim 10.000/\text{m}^2 \text{ s sr}$  (con energia > 1 GeV)**

**He (1/20-esimo) C (1/350) Fe (1/6000)**

# I raggi cosmici (II)

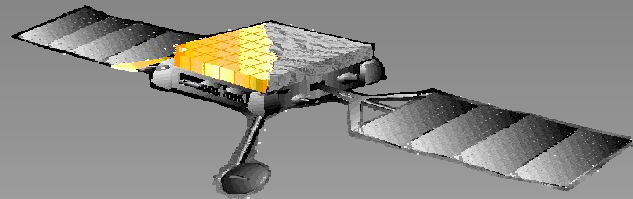
Urtando l'atmosfera terrestre (cioe` H,N,O dell'aria), i raggi cosmici producono delle particelle che a loro volta possono interagire o decadere. Se l'energia iniziale e' sufficiente si genera un vero e proprio **sciame di particelle** (**Extensive Air Shower**). Al suolo possono arrivare anche milioni di particelle contemporaneamente (prodotte da un'unica particella iniziale) su un'area di alcuni km<sup>2</sup>.

Le particelle cariche piu` numerose al livello del suolo sono i **muoni** (che sono simili agli elettroni ma con massa pari a circa 200 volte). I muoni possono avere carica positiva  $\mu^+$  o negativa  $\mu^-$ . La maggior parte dei muoni sono prodotti a circa 15 km di quota. La loro energia media al suolo e`  $\sim 4$  GeV.

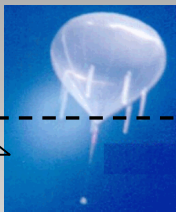
Il flusso totale di muoni al suolo, con energia  $> 1$  GeV e`  $\sim 70/\text{m}^2 \text{ s sr}$ , che corrisponde a:  
**FLUSSO DI MUONI  $\sim$  un muone per cm<sup>2</sup> al minuto per un rivelatore orizzontale**).

Siccome i muoni non contengono quark (sono leptoni), essi non subiscono interazioni nucleari. Perdono energia solo a causa di interazioni "elettromagnetiche". Di conseguenza sono molto penetranti. Quasi tutti i muoni **attraversano il nostro rivelatore senza fermarsi** al suo interno e **perdendo una quantita` di energia fissata**, che dipende essenzialmente dal materiale che costituisce il rivelatore e dallo spessore di materiale attraversato.

# I raggi cosmici (III)



Studio Diretto



40 Km

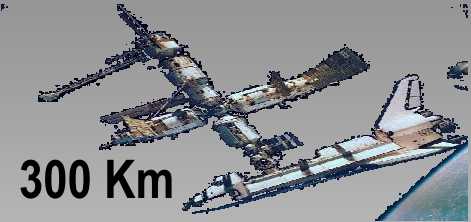
Atmosfera

Studio  
Indiretto

Neutrini

Raggi Cosmici

300 Km



Particelle Secondarie

muoni

EAS



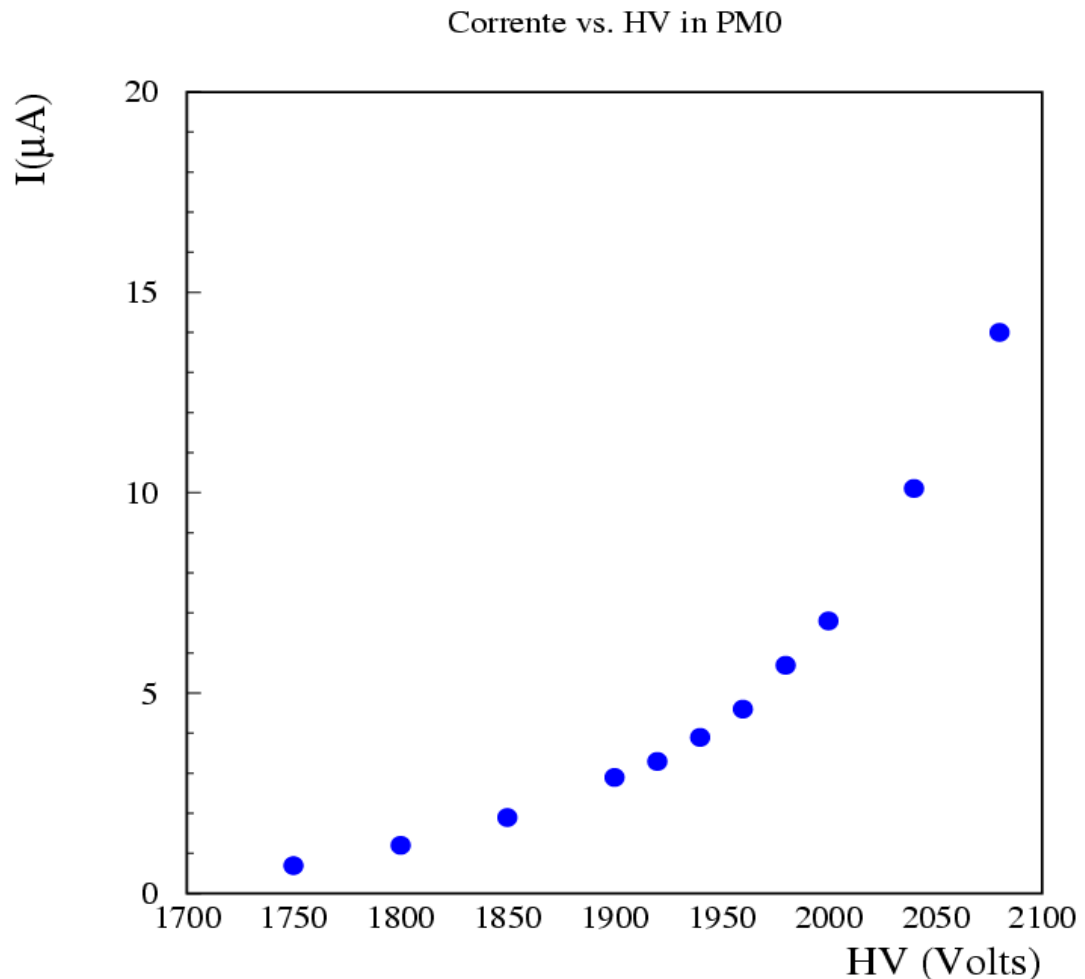
Rivelatori  
Sotterranei



Rivelatori Sottomarini

# Curva di guadagno del fotomoltiplicatore (I)

Utilizzando la sorgente radioattiva, posta ad una certa distanza fissata da PM0, possiamo misurare come la corrente nel fotomoltiplicatore dipende dall'alta tensione ad esso applicata.





# Curva di Guadagno del PMT

Stage Residenziale 2012

# Curva di guadagno del fotomoltiplicatore (II)

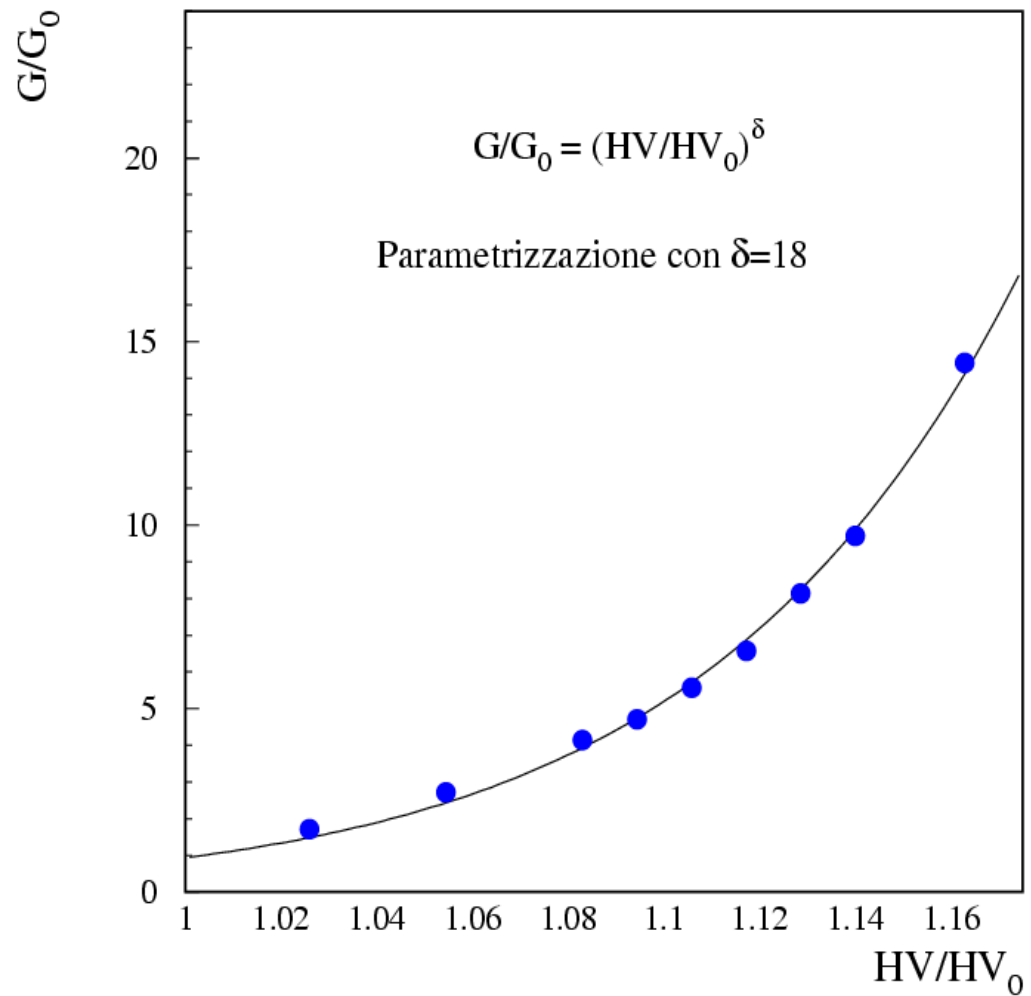
Se indichiamo con  $\delta$  il numero di dinodi e con  $K$  il coefficiente di moltiplicazione per emissione secondaria, il guadagno del fotomoltiplicatore è  $K^\delta$  ( $10^5 \div 10^6$ ).

Siccome  $K$  è proporzionale all'alta tensione di alimentazione del fotomoltiplicatore  $HV$ , se chiamiamo  $G_0$  il guadagno alla tensione  $HV_0$ , allora il guadagno  $G$  alla tensione  $HV$  soddisfa la relazione:

$$G/G_0 = (HV/HV_0)^\delta$$

ed essendo  $G \propto i$  (corrente nel PM), il rapporto dei guadagni è uguale al rapporto delle correnti:

$$G/G_0 = i/i_0$$

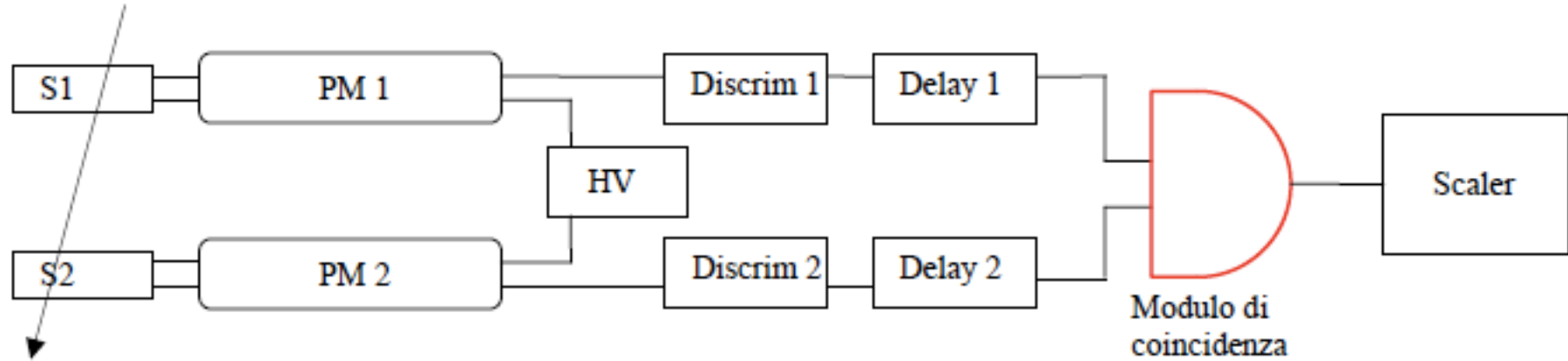




# Misura delle rate al variare dell'accettanza

Stage Residenziale 2012

# Rivelatori a Scintillazione



Questo e' lo schema base dell'esperimento che vogliamo realizzare.

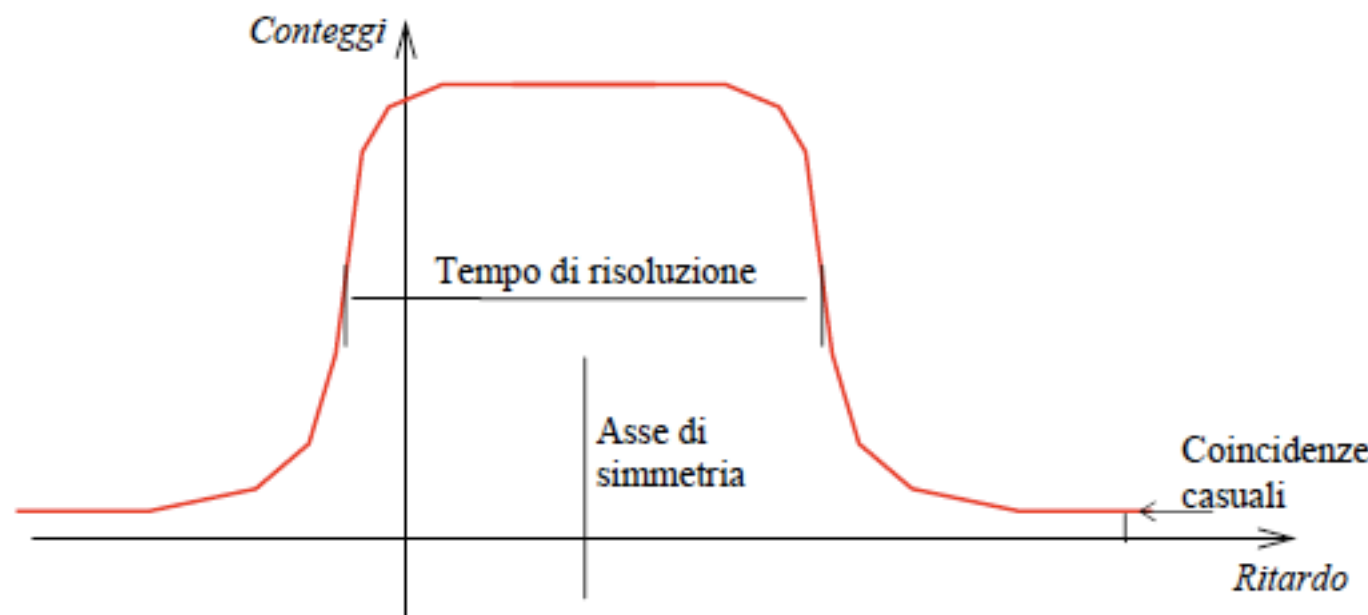
Abbiamo a disposizione 2 scintillatori già connessi con PMT e nell'esperienza precedente abbiamo misurato le curve di guadagno.

# Rivelatori a Scintillazione

Per ottimizzare la coincidenza tra I due scintillatori e' importante studiare I ritardi da dare a ciascun canale affinche' l'efficienza di rivelazione sia massima.

Tenendo fisso il primo ritardo, dobbiamo variare il secondo e conteggiare mediante lo scaler le coincidenze che vengono misurate.

Con I dati ricavati si ottiene una curva di questo tipo:



# Rivelatori a Scintillazione

Se modifichiamo la geometria del sistema disallineando gli scintillatori uno rispetto all'altro, ci accorgiamo che il numero di conteggi misurati allo scaler diminuisce molto rapidamente.

Da queste informazioni e' possibile ricavare una distribuzione angolare dei raggi cosmici che attraversano il nostro sistema.

# Rivelatori a Scintillazione

Analogamente, se avviciniamo o allontaniamo gli scintillatori l'uno rispetto all'altro, vediamo che anche in questo caso il numero di conteggi misurati allo scaler varia in base a come ci spostiamo.

- Perche'?
- Quale informazioni possiamo ricavare da questa misura?
- Sappiamo rappresentare graficamente questo andamento e ricavare una legge di natura?